

# Peatükk 5

## Elastsussteooria tasandülesanne

### 5.1 Tasandülesande mõiste

5 - 2

#### 5.1.1 Tasandülesande mõiste

Selleks, et iseloomustada *pingust* või *deformatsiooni elastse keha punktis* kasutatakse peapinge ja peadeformatsiooni mõistet. Pinguse puhul eristatakse järgmisi kolme juhtu:

- *ruumpingus* — kõik kolm peapinget on nullist erinevad;
- *tasandpingus* — kaks peapinget on nullist erinevad;
- *joonpingus* — vaid üks peapinge on nullist erinev.

Analoogiliselt, st. läbi peadeformatsioonide, defineeritakse *ruum-, tasand- ja joondeformatsiooni*.

Üldjuhul võib nii pinguse kui deformatsiooni iseloom olla keha erinevates punktides erinev. Kui igas keha punktis on pingus (deformatsioon) sama iseloomuga siis öeldakse, et kehas on *ühtlane pingus (deformatsioon)*.

Elastsussteorioorja ülesannet nimetatakse *tasandülesandeks* (ehk tasapinnaliseks ülesandeks) kui deformatsioon või pinge on kogu keha ulatuses tasapinnaline.

## 5.2 Tasanddeformatsioon

Vaadeldaval juhul on kõigis keha punktides deformatsioon tasapinnaline, st. üks peadeformatsioonidest on null. *Tasanddeformatsioon saab tekkida kui siirded*

$$u = u(x, y), \quad v = v(x, y), \quad w = 0. \quad (5.1)$$

Vastavalt Cauchy seostele (4.2)

$$\begin{cases} \varepsilon_x = \frac{\partial u}{\partial x}, & \varepsilon_y = \frac{\partial v}{\partial y}, & \varepsilon_z = \frac{\partial w}{\partial z} = 0, \\ \gamma_{xy} = \frac{\partial u}{\partial y} + \frac{\partial v}{\partial x}, & \gamma_{yz} = \frac{\partial v}{\partial z} + \frac{\partial w}{\partial y} = 0, & \gamma_{xz} = \frac{\partial u}{\partial z} + \frac{\partial w}{\partial x} = 0. \end{cases} \quad (5.2)$$

Selline deformatsiooniseisund tekib pikas kehas, millele mõjub keha pinnaga ( $z$ -teljega) ristuv koormus.

*Näiteks:* pikk tugisein; (metroo)tunnel; pikk radiaalselt surutud völl; pika plaadi pilindriiline paine (NB! Saint Venant'i printsip).

### 5.2. Tasanddeformatsioon

Pingete leidmiseks kasutame üldistatud Hooke'i seadust nn. pöördkuju (4.4):

$$\begin{cases} \sigma_x = \lambda\theta + 2\mu\varepsilon_x = (\lambda + 2\mu)\varepsilon_x + \lambda\varepsilon_y, & \tau_{xy} = \mu\gamma_{xy}, \\ \sigma_y = \lambda\theta + 2\mu\varepsilon_y = \lambda\varepsilon_x + (\lambda + 2\mu)\varepsilon_y, & \tau_{yz} = \mu\gamma_{yz} = 0, \\ \sigma_z = \lambda\theta + 2\mu\varepsilon_z = \lambda(\varepsilon_x + \varepsilon_y), & \tau_{zx} = \mu\gamma_{zx} = 0. \end{cases} \quad (5.3)$$

Teisest küljest, arvestades Hooke'i seadust kujul (4.3), peab

$$\varepsilon_z = \frac{1}{E} [\sigma_z - \nu(\sigma_x + \sigma_y)] = 0,$$

kust saame

$$\sigma_z = \nu(\sigma_x + \sigma_y).$$

Kuna siirded  $u$  ja  $v$  sõltuvad vaid koordinaatidest  $x$  ja  $y$ , siis avaldiste (5.2) ja (5.3) põhjal ka pingे  $\sigma_z$  sõltub vaid koordinaatidest  $x$  ja  $y$ .

*Tasakaaluvõrrandid* (4.1):

$$\begin{cases} \frac{\partial \sigma_x}{\partial x} + \frac{\partial \tau_{yx}}{\partial y} + \frac{\partial \tau_{zx}}{\partial z} + X = 0, \\ \frac{\partial \tau_{xy}}{\partial x} + \frac{\partial \sigma_y}{\partial y} + \frac{\partial \tau_{zy}}{\partial z} + Y = 0, \\ \frac{\partial \tau_{xz}}{\partial x} + \frac{\partial \tau_{yz}}{\partial y} + \frac{\partial \sigma_z}{\partial z} + Z = 0. \end{cases}$$

Arvestades ülesande sisu jäääb järgi kaks võrrandit

$$\begin{cases} \frac{\partial \sigma_x}{\partial x} + \frac{\partial \tau_{yx}}{\partial y} + X = 0, \\ \frac{\partial \tau_{xy}}{\partial x} + \frac{\partial \sigma_y}{\partial y} + Y = 0, \end{cases} \quad (5.4)$$

kusjuures ka mahujõud  $Z = 0$ .

### 5.2. Tasanddeformatsioon

*Rajatingimustest* (4.5)

$$\begin{cases} p_{\nu x} = \sigma_x l + \tau_{yx} m + \tau_{zx} n, \\ p_{\nu y} = \tau_{xy} l + \sigma_y m + \tau_{zy} n, \\ p_{\nu z} = \tau_{xz} l + \tau_{yz} m + \sigma_z n \end{cases}$$

jääb samuti alles 2 esimest võrrandit —

$$\begin{cases} p_{\nu x} = \sigma_x l + \tau_{yx} m, \\ p_{\nu y} = \tau_{xy} l + \sigma_y m; \end{cases} \quad (5.5)$$

- keha külgpind on paralleelne  $z$ -teega ning seetõttu normaali suunakooosinus  $n = 0$ ;
- $p_{\nu z} = 0$  kuna muidu poleks meil tasanddeformatsiooni.

Pidevusvõrranditest deformatsioonides (4.6)

$$\left\{ \begin{array}{l} \frac{\partial^2 \varepsilon_x}{\partial y^2} + \frac{\partial^2 \varepsilon_y}{\partial x^2} = \frac{\partial^2 \gamma_{xy}}{\partial x \partial y}, \\ \frac{\partial^2 \varepsilon_y}{\partial z^2} + \frac{\partial^2 \varepsilon_z}{\partial y^2} = \frac{\partial^2 \gamma_{yz}}{\partial y \partial z}, \\ \frac{\partial^2 \varepsilon_z}{\partial x^2} + \frac{\partial^2 \varepsilon_x}{\partial z^2} = \frac{\partial^2 \gamma_{xz}}{\partial x \partial z}, \\ \frac{\partial}{\partial x} \left( \frac{\partial \gamma_{xz}}{\partial y} + \frac{\partial \gamma_{xy}}{\partial z} - \frac{\partial \gamma_{yz}}{\partial x} \right) = 2 \frac{\partial^2 \varepsilon_x}{\partial y \partial z}, \\ \frac{\partial}{\partial y} \left( \frac{\partial \gamma_{xy}}{\partial z} + \frac{\partial \gamma_{yz}}{\partial x} - \frac{\partial \gamma_{xz}}{\partial y} \right) = 2 \frac{\partial^2 \varepsilon_y}{\partial x \partial z}, \\ \frac{\partial}{\partial z} \left( \frac{\partial \gamma_{yz}}{\partial x} + \frac{\partial \gamma_{xz}}{\partial y} - \frac{\partial \gamma_{xy}}{\partial z} \right) = 2 \frac{\partial^2 \varepsilon_z}{\partial x \partial y} \end{array} \right.$$

jääb alles vaid esimene

$$\frac{\partial^2 \varepsilon_x}{\partial y^2} + \frac{\partial^2 \varepsilon_y}{\partial x^2} = \frac{\partial^2 \gamma_{xy}}{\partial x \partial y}. \quad (5.6)$$

### 5.3 Tasandpingus

Vaatleme olukorda, kus kõigis keha punktides üks peapingetest on null. Sellisel juhul saame valida Descartes'i ristkoordinaadid nii, et

$$\sigma_x = \sigma_x(x, y), \quad \sigma_y = \sigma_y(x, y), \quad \tau_{xy} = \tau_{xy}(x, y), \quad \sigma_z = \tau_{xz} = \tau_{yz} = 0. \quad (5.7)$$

Selline pingus tekib näiteks õhukeses plaadis, millele mõjub servades rakendatud koormus, mis on risti  $z$ -teljega.

Üldistatud Hooke'i seadusest (??) saame

$$\left\{ \begin{array}{l} \varepsilon_x = \frac{1}{E} [\sigma_x - \nu(\sigma_y + \sigma_z)] = \frac{\sigma_x - \nu \sigma_y}{E}, \quad \gamma_{xy} = \frac{\tau_{xy}}{G}, \\ \varepsilon_y = \frac{1}{E} [\sigma_y - \nu(\sigma_z + \sigma_x)] = \frac{\sigma_y - \nu \sigma_x}{E}, \quad \gamma_{yz} = \frac{\tau_{yz}}{G} = 0, \\ \varepsilon_z = \frac{1}{E} [\sigma_z - \nu(\sigma_x + \sigma_y)] = -\nu \frac{\sigma_x + \sigma_y}{E}, \quad \gamma_{zx} = \frac{\tau_{zx}}{G} = 0. \end{array} \right. \quad (5.8)$$

\*joon  
nis

Tasakaaluvõrandid on tasandpinguse korral samad kui olid tasanddeformatiooni korral, st. esitatud kujul (5.4).

## 5.4 Tasandülesande lahendamine pingetes

Väga sageli lahendatakse elastsusteooria ülesanded pingetes, sest sellel meetodil on võrreldes siiretes lahendamisega mõned eelised:

- sageli ongi ülesande lahendina vaja leida vaid pingeid, sirmed on teisjärgulise tähtsusega ning neid polegi vaja leida;
- üldjuhul on siirete avaldised võrreldes pingete avaldisega tunduvalt keerukamad.

*Tundmatud:* pingetensori komponendid  $\sigma_x$ ,  $\sigma_y$  ja  $\tau_{xy}$ .

### 5.4. Tasandülesande lahendamine pingetes

Esmalt peame pidenvustingimuse (5.6)

$$\frac{\partial^2 \varepsilon_x}{\partial y^2} + \frac{\partial^2 \varepsilon_y}{\partial x^2} = \frac{\partial^2 \gamma_{xy}}{\partial x \partial y}.$$

avalдama pingetes. Selleks kasutame üldistatud Hooke'i seadust kujul (5.8) kust leiate vajalikud osatuletised läbi pingete:

$$\begin{cases} \frac{\partial^2 \varepsilon_x}{\partial y^2} = \frac{1}{E} \left( \frac{\partial^2 \sigma_x}{\partial y^2} - \nu \frac{\partial^2 \sigma_y}{\partial y^2} \right), \\ \frac{\partial^2 \varepsilon_y}{\partial x^2} = \frac{1}{E} \left( \frac{\partial^2 \sigma_y}{\partial x^2} - \nu \frac{\partial^2 \sigma_x}{\partial x^2} \right), \\ \frac{\partial^2 \gamma_{xy}}{\partial x \partial y} = \frac{1}{G} \frac{\partial^2 \tau_{xy}}{\partial x \partial y} = \frac{2(1+\nu)}{E} \frac{\partial^2 \tau_{xy}}{\partial x \partial y}. \end{cases} \quad (5.9)$$

Seega saab pidenvustingimus kuju

$$\left( \frac{\partial^2 \sigma_x}{\partial y^2} - \nu \frac{\partial^2 \sigma_y}{\partial y^2} \right) + \left( \frac{\partial^2 \sigma_y}{\partial x^2} - \nu \frac{\partial^2 \sigma_x}{\partial x^2} \right) = 2(1+\nu) \frac{\partial^2 \tau_{xy}}{\partial x \partial y}. \quad (5.10)$$

Viimastest avaldisest saab tasakaaluvõrrandite (5.4) abil ellimineerida nihkepinge. Selleks diferentseerime (5.4)<sub>1</sub>  $x$  järgi ja (5.4)<sub>2</sub>  $y$  järgi

$$\begin{cases} \frac{\partial^2 \tau_{yx}}{\partial x \partial y} = -\frac{\partial^2 \sigma_x}{\partial x^2} - \frac{\partial X}{\partial x}, \\ \frac{\partial^2 \tau_{xy}}{\partial x \partial y} = -\frac{\partial^2 \sigma_y}{\partial y^2} - \frac{\partial Y}{\partial y}. \end{cases} \quad (5.11)$$

Eeldades, et mahujõu on konstantsed, saame viimaste liitmise tulemusena

$$2 \frac{\partial^2 \tau_{yx}}{\partial x \partial y} = -\frac{\partial^2 \sigma_x}{\partial x^2} - \frac{\partial^2 \sigma_y}{\partial y^2}. \quad (5.12)$$

Asendades viimase tulemuse pidavustingimuse (5.10) saame peale teisendusi

$$\frac{\partial^2(\sigma_x + \sigma_y)}{\partial x^2} + \frac{\partial^2(\sigma_x + \sigma_y)}{\partial y^2} = 0. \quad (5.13)$$

Kasutades Laplace'i operaatorit  $\nabla^2$  saame väljendada *tasandülesande pidavuspingimuse pingetes* kujul

$$\nabla^2 (\sigma_x + \sigma_y) = 0. \quad (5.14)$$

#### *5.4. Tasandülesande lahendamine pingetes*

5 - 12

Tasandülesande lahendamine pingetes lihtsustub oluliselt kui tuua sisse *Airy' pingefunktsoon*  $\varphi(x, y)$ , mis on seotud pingekomponentidega järgmisel kujul:

$$\sigma_x = \frac{\partial^2 \varphi}{\partial y^2}; \quad \sigma_y = \frac{\partial^2 \varphi}{\partial x^2}; \quad \tau_{yx} = -\frac{\partial^2 \varphi}{\partial x \partial y} - XY - YX, \quad (5.15)$$

kus  $X$  ja  $Y$  on konstantsed mahujõud. Alternatiivne võimalus siduda pingekomponendid ja pingefunktsoon:

$$\sigma_x = \frac{\partial^2 \varphi}{\partial y^2} - XX; \quad \sigma_y = \frac{\partial^2 \varphi}{\partial x^2} - YY; \quad \tau_{yx} = -\frac{\partial^2 \varphi}{\partial x \partial y}. \quad (5.16)$$

Nii (5.15) kui (5.16) korral on tasakaaluvõrrandid (5.4) automaatsett rahuldatud. Pannes selliselt defineeritud pingekomponendid pidavustingimusse (5.14) saame *biharmoniilise võrrandi*

$$\nabla^2 \left( \frac{\partial^2 \varphi}{\partial x^2} + \frac{\partial^2 \varphi}{\partial y^2} \right) = \nabla^2 (\nabla^2 \varphi) = 0. \quad (5.17)$$

Lahti kirjutatult saab viimane kuju

$$\frac{\partial^4 \varphi}{\partial x^4} + 2 \frac{\partial^4 \varphi}{\partial x^2 \partial y^2} + \frac{\partial^4 \varphi}{\partial y^4} = 0. \quad (5.18)$$

Funktsooni, mis rahuldab biharmonilist võrrandit (5.17) või (5.18) nimetaakse *biharmoniliseks funktsiooniks*.

Kuna tasakaaluvõrandid on antud juhul automaatselt rahuldatud, siis taandub tasandülesande lahendamine pingetes neljandat järu osatuletistega diferentsiaalvõrandi lahendamisele. Siinjuures tuleb loomulikult arvesse võtta pingetes antud ääretelingimus. Peale pingefunktsiooni leidmist määratatakse pingensori komponendid (näiteks avaldistest (5.15)). Seejärel saab üldistatud Hooke'i seaduse abil leida deformatsioonikomponendid ja Cauchy seostest siirdekomponendid.

Tegelikult on pingefunktsiooni leidmine mitmel juhul suhteliselt lihtne. Vastavat meetodit võib nimetada *poolvastupidiseks meetodiks*. Selle põhjal antakse pingefunktsioon ette kas polünoomina või trigonomeetrilise reana, mis sisaldaavad määramata konstante. Viimased määratatakse ülesande lahendamise käigus ääretelingimuste ja biharmonilise võrrandi abil.

#### *5.5. Biharmonilise võrrandi lahendamine polünoomides*

## 5.5 Biharmonilise võrrandi lahendamine polünoomides

Kui väljendada Airy funktsioon polünoomina

$$\begin{aligned} \varphi = & \left( \frac{a_2}{2} x^2 + b_2 x y + \frac{c_2}{2} y^2 \right) + \left( \frac{a_3}{3 \cdot 2} x^3 + \frac{b_3}{2} x^2 y + \frac{c_3}{2} x y^2 + \frac{d_3}{3 \cdot 2} y^3 \right) + \\ & + \left( \frac{a_4}{4 \cdot 3} x^4 + \frac{b_4}{3 \cdot 2} x^3 y + \frac{c_4}{2} x^2 y^2 + \frac{d_4}{3 \cdot 2} x y^3 + \frac{e_4}{4 \cdot 3} y^4 \right) + \dots \end{aligned} \quad (5.19)$$

saab konstrueerida terve rea tasandülesande lahendusi. Vaadeldav lähenemisviis on rakendatav kui uuritakse ristikülkulisi plaate või talasid. Mahujoud, k.a. keha kaal, hügame. Käesolevas alajaotuses vaatleme talasid, mille pikkus on  $l$ , kõrgus  $2c$  ja laius  $1$ . Tala teljeks on  $x$ -telg ja  $y$  telg on suunatud alla. Kuna  $\ddot{x}$  joon lineaarses elastsusteoorias kehtib superpositiooni printsip, siis vaatleme algul polünoome kuni 5. astmeni eraldi. Järgmises alajaotuses konstrueerime saadud tulemuste abil erinevaid lahendeid.

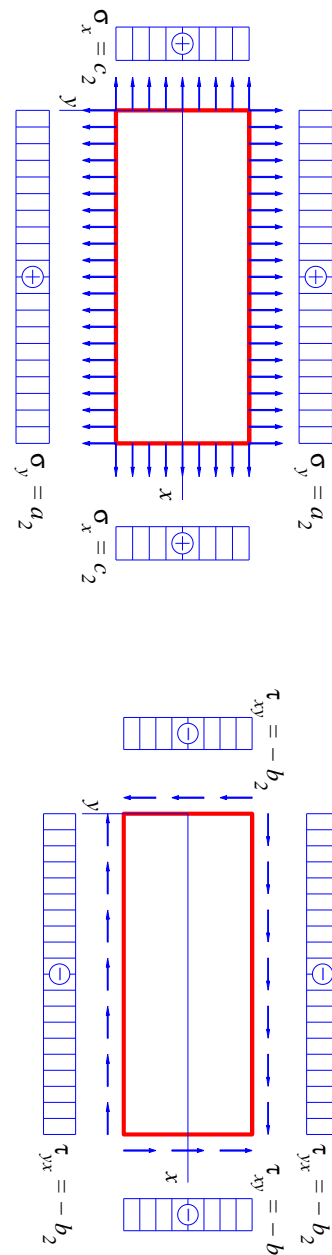
### A) Ruutpolünoom

$$\varphi_2 = \frac{a_2}{2}x^2 + b_2xy + \frac{c_2}{2}y^2. \quad (5.20)$$

Sellise valiku puhul on biharmoniline võrrand (5.18) automaatselt rahuldatud. Mahujõude hülgamise puhul saame avaldistest (5.15) pingekomponendid kujul

$$\sigma_x = c_2; \quad \sigma_y = a_2; \quad \tau_{xy} = -b_2. \quad (5.21)$$

Selline pingeseisund tähendab  $a_2 > 0$ ,  $b_2 > 0$  ja  $c_2 > 0$  puhul ühtlast tõmmet kahes ristuvas sihis koos ühtlase nihkega. Vastavad rajatingimused on esitatud



Joonis 5.1: Ruutpolünoomile vastavad rajatingimused.

joonisel 5.1. Võttes osa polünoomi koefitsiente võrdseks nulliga, saab rajatingimusi varieerida.

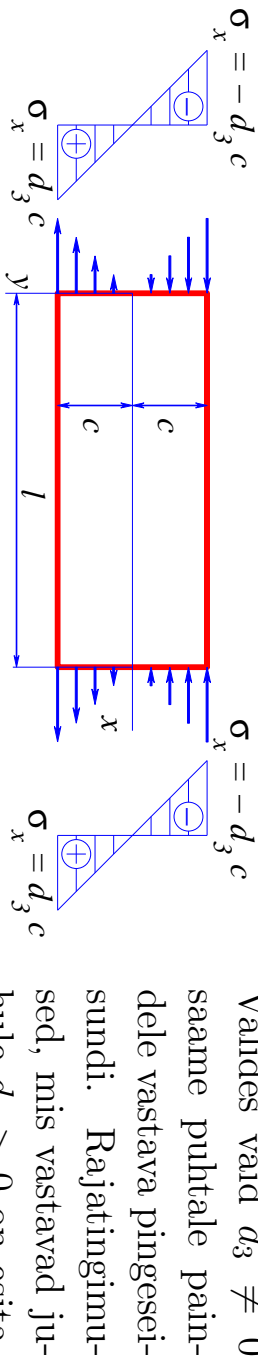
### 5.5. Biharmonilise võrrandi lahendamine polünoomides

#### B) Kuuppolünoom

$$\varphi_3 = \frac{a_3}{3 \cdot 2}x^3 + \frac{b_3}{2}x^2y + \frac{c_3}{2}xy^2 + \frac{d_3}{3 \cdot 2}y^3. \quad (5.22)$$

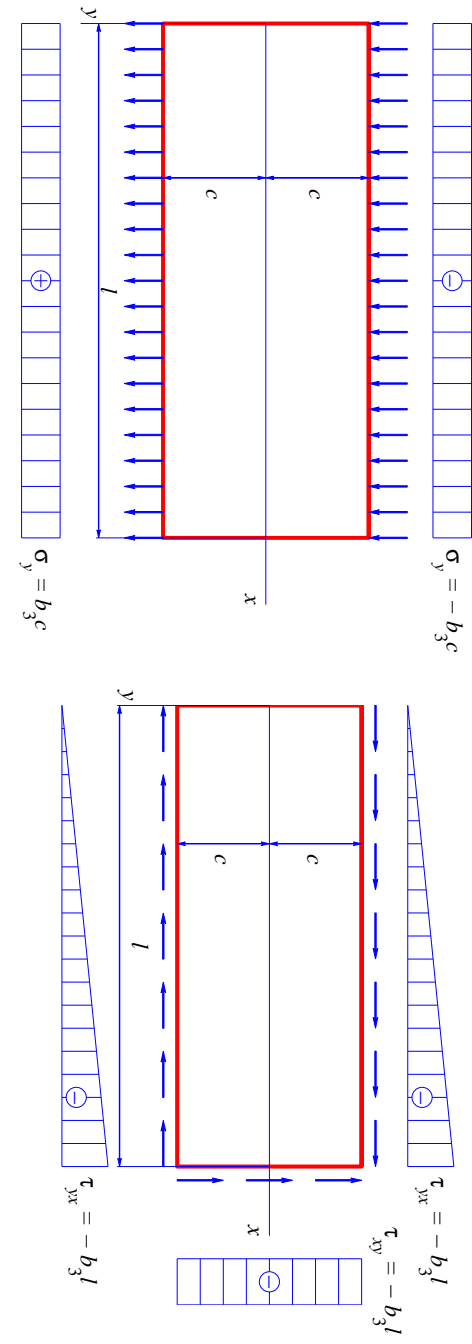
Ka antud juhul on biharmoniline võrrand (5.18) automaatselt rahuldatud. Pingete avaldiste (5.15) põhjal aga

$$\sigma_x = c_3x + d_3y; \quad \sigma_y = a_3x + b_3y; \quad \tau_{xy} = -b_3x - c_3y. \quad (5.23)$$



Joonis 5.2: Kuuppolünoomile vastavad rajatingimused:  $d_3 \neq 0$ , tud joonisel 5.2.  
 $a_3 = b_3 = c_3 = 0$ .

Valides vaid  $b_3 \neq 0$  saame pingeseisundi, mille korral pindadel  $y = \pm c$  mõjuvad pingid  $\sigma_y = \pm b_3c$  ja  $\tau_{yx} = -b_3x$  ning pinnal  $x = l$  pingi  $\tau_{xy} = -b_3l$ . Juhu  $b_3 > 0$  jaoks on vastavad rajatingimused esitatud joonisel 5.3.



Joonis 5.3: Kuupolünoomile vastavad rajatingimused:  $b_3 \neq 0$ ,  $a_3 = c_3 = d_3 = 0$ .

Muud võimalused:

- Vaid  $c_3 \neq 0 \dots$
- Vaid  $a_3 \neq 0 \dots$
- Jne. ...

### 5.5. Biharmoonilise võrrandi lahendamine polünoomides

Teist ja kolmandat järuku polünoomide puhul polnud vaja esitada täiendavaid kitsendusi polünoomide koefitsentidele, sest biharmoniline võrrand oli automaatselt rahuldatud. Kõrgemat järuku polünoomide puhul pole asi aga enam nii lihtne.

#### C) Neljandat järuku polünoom

$$\varphi_4 = \frac{a_4}{4 \cdot 3} x^4 + \frac{b_4}{3 \cdot 2} x^3 y + \frac{c_4}{2} x^2 y^2 + \frac{d_4}{3 \cdot 2} x y^3 + \frac{e_4}{4 \cdot 3} y^4. \quad (5.24)$$

Nüüd on biharmoniline võrrand (5.18) rahuldatud vaid juhul kui

$$e_4 = -(2c_4 + a_4) \quad (5.25)$$

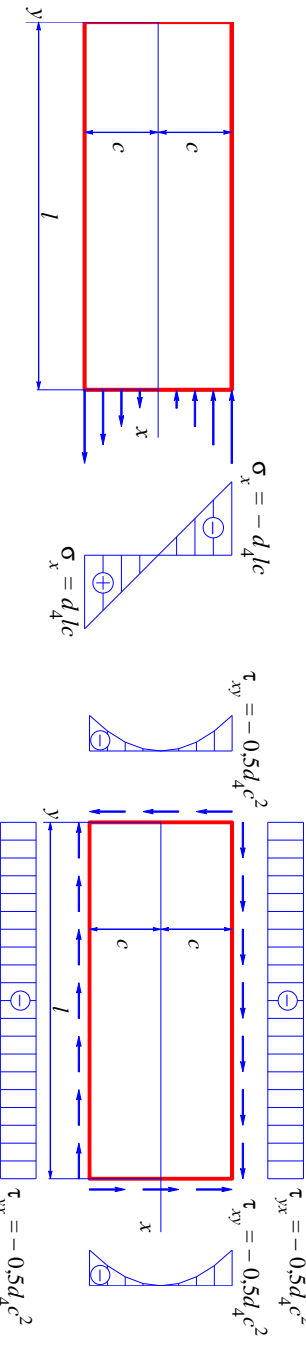
ning pingekomponendid (5.15) saavad kuju

$$\begin{cases} \sigma_x = c_4 x^2 + d_4 x y - (2c_4 + a_4) y^2; \\ \sigma_y = a_4 x^2 + b_4 x y + c_4 y^2; \\ \tau_{xy} = -\frac{b_4}{2} x^2 - 2c_4 x y - \frac{d_4}{2} y^2. \end{cases} \quad (5.26)$$

Kuna koefitsentide  $a_4, \dots, d_4$  valik on vaba, siis on (5.26) abil võimalik kirjelada mitmesuguseid rajatingimusi.

Näiteks kui vaid  $d_4$  on nullist erinev polünoomi koefitsent, siis

$$\sigma_x = d_4 xy; \quad \sigma_y = 0; \quad \tau_{xy} = -\frac{d_4}{2} y^2. \quad (5.27)$$



Joonis 5.4: Neljandat järu polünoomile vastavad rajatingimused juhul kui  $d_4 > 0$  ja  $a_4 = b_4 = c_4 = 0$ .

Juhule  $d_4 > 0$  vastavad rajatingimused

$$\begin{cases} \tau_{yx} = -\frac{d_4}{2} c^2, \text{ kui } y = \pm c; & \tau_{xy} = -\frac{d_4}{2} y^2, \text{ kui } x = 0; \\ \tau_{xy} = -\frac{d_4}{2} y^2, & \sigma_x = d_4 ly, \text{ kui } x = l; \end{cases} \quad (5.28)$$

on kujutatud joonisel 5.4.

### 5.5. Biharmonilise võrrandi lahendamine polünoomides

Kui vaid  $c_4 > 0$  oleks nullist erinev polünoomi koefitsent, siis saaksime avaldis-test (5.26)

$$\sigma_x = c_4 x^2 - 2c_4 y^2; \quad \sigma_y = c_4 y^2; \quad \tau_{xy} = -2c_4 xy. \quad (5.29)$$

Jne., jne.

#### D) Viendat järu polünoom

$$\varphi_5 = \frac{a_5}{5 \cdot 4} x^5 + \frac{b_5}{4 \cdot 3} x^4 y + \frac{c_5}{3 \cdot 2} x^3 y^2 + \frac{d_5}{3 \cdot 2} x^2 y^3 + \frac{e_5}{4 \cdot 3} x y^4 + \frac{f_5}{5 \cdot 4} y^5. \quad (5.30)$$

Nüüd on biharmoniline võrrand (5.18) rahuldatud kui

$$e_5 = -(2c_5 + 3a_5) \text{ ja } f_5 = -\frac{1}{3}(b_5 + 2d_5). \quad (5.31)$$

Pingekomponendid

$$\left\{ \begin{array}{l} \sigma_x = \frac{\partial^2 \varphi_5}{\partial y^2} = \dots \\ \sigma_y = \frac{\partial^2 \varphi_5}{\partial x^2} = \dots \\ \tau_{xy} = -\frac{\partial^2 \varphi_5}{\partial x \partial y} = \dots \end{array} \right. \quad (5.32)$$

Valides vaid  $d_5 > 0$  nullist erinevaks polünoomikoeffitsendiks, saame pingejao-tuse

$$\sigma_x = d_5(x^2y - \frac{2}{3}y^3), \quad \sigma_y = \frac{1}{3}d_5y^3, \quad \tau_{xy} = -d_5xy^2. \quad (5.33)$$

Viimasele vastavad rajatingimused

$$\begin{cases} y = \pm c, & \sigma_y = \pm \frac{1}{3}d_5c^3, \quad \tau_{yx} = -d_5xc^2 \\ x = 0, & \sigma_x = -\frac{2d_5y^3}{3}, \quad \tau_{xy} = 0, \\ x = l, & \sigma_x = d_5(l^2y - \frac{2}{3}y^3), \quad \tau_{xy} = -d_5ly^2. \end{cases} \quad (5.34)$$

Kuna bihamooniline võrrand (5.18) on lineaarne diferentsiaalvõrrand, siis on tema lahendiks ka suvaline lahendite superpositsioon. Seega, liites eespool leitud elementaarlahendeid, saame leida meid huvitava probleemi lahendi.

### *5.5. Biharmoonilise võrrandi lahendamine polünoomides*

5 - 22

Tala pinnal mõjuvate pingete (pindjõudude) peavektori ja peamomendi leidmine

- Vaatleme tala, mille pikkus on  $l$ , kõrgus  $2c$  ja laius  $1$ .
- Eeldame, et tala kontuuril mõjuvad normaal- ja nihkepinged on positiivsed.
- Valime taandumistsentriks koordinaatide alguse.

Peavektori projektsioonid koordinaattelgedel  $x$  ja  $y$ :

$$\begin{aligned} R_x &= R_x(\sigma_x)|_{x=l} + R_x(\sigma_x)|_{x=0} + R_x(\tau_{yx})|_{y=c} + R_x(\tau_{yx})|_{y=-c} = \\ &= \int_{-c}^c \sigma_x|_{x=l} dy - \int_{-c}^c \sigma_x|_{x=0} dy + \int_0^l \tau_{yx}|_{y=c} dx - \int_0^l \tau_{yx}|_{y=-c} dx; \end{aligned} \quad (5.35)$$

$$\begin{aligned} R_y &= R_y(\sigma_y)|_{y=c} + R_y(\sigma_y)|_{y=-c} + R_y(\tau_{xy})|_{x=0} + R_y(\tau_{xy})|_{x=l} = \\ &= \int_0^l \sigma_y|_{y=c} dx - \int_0^l \sigma_y|_{y=-c} dx - \int_{-c}^c \tau_{xy}|_{x=0} dy + \int_{-c}^c \tau_{xy}|_{x=l} dy. \end{aligned} \quad (5.36)$$

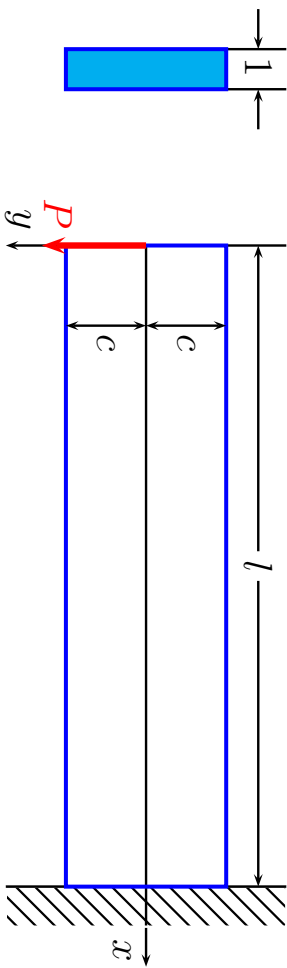
Peamoment koordinaatide alguse suhtes<sup>1</sup>

$$\begin{aligned}
 M_O &= M_O(\sigma_x)|_{x=0} + M_O(\sigma_x)|_{x=l} + M_O(\sigma_y)|_{y=c} + M_O(\sigma_y)|_{y=-c} + \\
 &+ M_O(\tau_{yx})|_{y=c} + M_O(\tau_{yx})|_{y=-c} + M_O(\tau_{xy})|_{x=l} = \\
 &= \int_{-c}^c \sigma_x|_{x=0} y \, dy - \int_{-c}^c \sigma_x|_{x=l} y \, dy + \\
 &+ \int_0^l \sigma_y|_{y=c} x \, dx - \int_0^l \sigma_y|_{y=-c} x \, dx - \\
 &- \int_0^l \tau_{yx}|_{y=c} c \, dx - \int_0^l \tau_{yx}|_{y=-c} c \, dx + \int_{-c}^c \tau_{xy}|_{x=l} l \, dy.
 \end{aligned} \tag{5.37}$$

<sup>1</sup>Kuna  $y$  telg on suunatud alla, siis on positiivne moment päripäeva.

### 5.6 Konsooli paine

Vaatleme kitsa ristkülikulise ristlõikega konsooli, mille vabas otsas ( $x = 0$ ) on rakendatud jõud  $\mathbf{P}$ , mida võib vaadelda kui otspinnal mõjuvate nihkepingete peavektoriga (joonis 5.5). Konsooli pikkus on  $i$ , kõrgus  $2c$  ja laius 1. Konsooli pealmine ja alumine pind on pingevabad ja ots  $x = l$  jäigalt kinnitatud.



Joonis 5.5: Kitsa ristkülikulise ristlõikega konsool; pikkus  $i$ , kõrgus  $2c$  ja laius 1.

Sellist olukorda saab vaadelda kui superpositsiooni puhtast nihkest (alajaotus  $5.5 \text{ \AA}$  valemid (5.21)  $a_2 = c_2 = 0$  ja  $b_2 \neq 0$ ) ja valemitega (5.27) esitatud juhust (alajaotus  $5.5 \text{ C}$   $a_4 = b_4 = c_4 = e_4 = 0$  ja  $d_4 \neq 0$ ). Saame

$$\sigma_x = d_4 xy, \quad \sigma_y = 0, \quad \tau_{xy} = -b_2 - \frac{d_4}{2} y^2 = \tau_{yx}. \quad (5.38)$$

Rajatingimused

$$\tau_{yx}|_{y=\pm c} \equiv \tau_{xy}|_{y=\pm c} = 0 \quad \Rightarrow \quad d_4 = -\frac{2b_2}{c^2}, \quad (5.39)$$

$$\sum F_{iy} \Big|_{x=0} = P = - \int_{-c}^c \tau_{xy} dy = \int_{-c}^c \left( b_2 - \frac{b_2}{c^2} y^2 \right) dy \quad \Rightarrow \quad b_2 = \frac{3P}{4c}. \quad (5.40)$$

Pannes nüüd konstandid  $b_2$  ja  $d_4$  valemitest (5.39) ja (5.40) pingete avaldisse (5.38) saame

$$\sigma_x = -\frac{3P}{2c^3} xy, \quad \sigma_y = 0, \quad \tau_{xy} = -\frac{3P}{4c} \left( 1 - \frac{y^2}{c^2} \right). \quad (5.41)$$

### 5.6. Konsooli paine

Arvestades, et inertsimoment  $I \equiv I_z = 2c^3/3$ , siis

$$\sigma_x = -\frac{P}{I} xy, \quad \sigma_y = 0, \quad \tau_{xy} = -\frac{P}{2I} (c^2 - y^2). \quad (5.42)$$

Lahend on täpne Saint-Venanti printsibi mõistes, st.,  $5.5 \text{ C}$  puhul on tala otsas nihkepinged paraboolse jaotusega.

Leiame nüüd siirdekomponeendid  $u$  ja  $v$ . Lähtume Hooke'i seadusest ja Chauchy seostest, mille põhjal

$$\begin{cases} \varepsilon_x = \frac{\partial u}{\partial x} = \frac{\sigma_x}{E} = -\frac{P}{EI} xy, \\ \varepsilon_y = \frac{\partial v}{\partial y} = -\nu \frac{\sigma_x}{E} = \frac{\nu P}{EI} xy, \\ \gamma_{xy} = \frac{\partial u}{\partial y} + \frac{\partial v}{\partial x} = \frac{\tau_{xy}}{G} = -\frac{P}{GI} (c^2 - y^2). \end{cases} \quad (5.43)$$

Integreerime (5.43)<sub>1</sub> koordinaadi  $x$  järgi ja (5.43)<sub>2</sub> koordinaadi  $y$  järgi:

$$u = -\frac{P}{2EI} x^2 y + f(y), \quad v = \frac{\nu P}{2EI} xy^2 + f_1(x), \quad (5.44)$$

kus funktsioonid  $f(y)$  ja  $f_1(x)$  on integreerimiskonstantide analoogid.

•

Pannes (5.44) valemisse (5.43)<sub>3</sub> saame

$$-\frac{P}{2EI}x^2 + \frac{df(y)}{dy} + \frac{\nu P}{2EI}y^2 + \frac{df_1(x)}{dx} = -\frac{P}{2GI}(c^2 - y^2). \quad (5.45)$$

Viimane on esitatav kujul

$$F(x) + G(y) = K, \quad (5.46)$$

kus

$$F(x) = \frac{df_1(x)}{dx} - \frac{P}{2EI}x^2, \quad G(y) = \frac{df(y)}{dy} + \left( \frac{\nu P}{2EI} - \frac{P}{2GI} \right) y^2, \quad K = -\frac{P}{2GI}c^2. \quad (5.47)$$

Kuna  $F(x) + G(y) = K = const.$ , siis peavad ka  $F(x)$  ja  $G(y)$  olema konstantsed. Tähistades  $F(x) = d$  ja  $G(y) = e$  saame valemitest (5.46) tingimuse

$$d + e = -\frac{P}{2GI}c^2 \quad (5.48)$$

ja diferentsiaalvõrrandid

$$\frac{df(y)}{dy} = \left( \frac{P}{2GI} - \frac{\nu P}{2EI} \right) y^2 + e, \quad \frac{df_1(x)}{dx} = \frac{P}{2EI}x^2 + d. \quad (5.49)$$

### 5.6. Konsooli paine

Viimaste integreerimisel saame

$$f(y) = \left( \frac{P}{6GI} - \frac{\nu P}{6EI} \right) y^3 + ey + g, \quad f_1(x) = \frac{P}{6EI}x^3 + dx + h. \quad (5.50)$$

Seega saavad siirete avaldised (5.44) kuju

$$u = -\frac{P}{2EI}x^2y + \left( \frac{P}{6GI} - \frac{\nu P}{6EI} \right) y^3 + ey + g, \quad v = \frac{\nu P}{2EI}xy^2 + \frac{P}{6EI}x^3 + dx + h. \quad (5.51)$$

Konstandid  $d, e, g$  ja  $h$  määratatakse tingimusest (5.48) ja kolmest rajatingimus-test siiretele.

Olgu punkt  $A$  tala ristlõike  $x = l$  kese. Jäiga kinnituse tõttu peab see punkt olema fikseeritud — tema siirded on nullid ja ristlõige  $x = l$  ei saa pöörduda ümber punkti  $A$ . Seega kui  $x = l$  ja  $y = 0$ , siis  $u = v = 0$  ning

$$g = 0 \quad \text{ja} \quad h = -\frac{Pl^3}{6EI} - dl. \quad (5.52)$$

Võttes valemis (5.51)<sub>2</sub>  $y = 0$ , saame konsooli kõverdunud telje võrrandi (enne

deformatsiooni on teljeks  $x$ -telg, st. sirge  $y = 0$ ):

$$v|_{y=0} = \frac{P}{6EI}x^3 - \frac{Pl^3}{6EI} - d(l-x) \quad (5.53)$$

Konstandi  $d$  määramiseks kasutame kolmandat rajatingimust, mis ei luba vaa-deldaval ristlõikel pööelda ümber punkti A. Seda tingimust võib ette anda mitmel viisil. Vaatleme kahte:

a) tala telje element on punktis A fikseeritud, st.,

$$\left. \frac{\partial v}{\partial x} \right|_{\substack{x=l \\ y=0}} = 0; \quad (5.54)$$

b) tala ristlõike vertikaalne element on punktis A fikseeritud, st.,

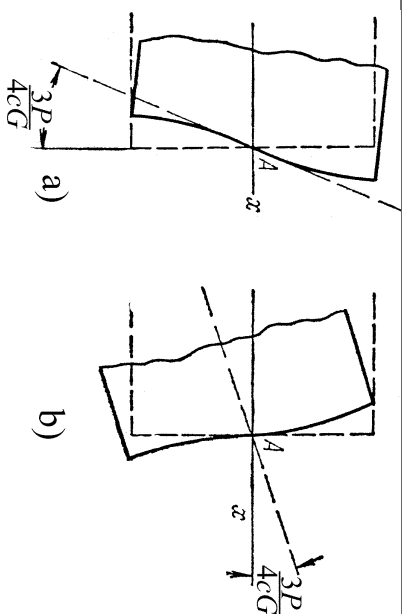
$$\left. \frac{\partial u}{\partial y} \right|_{\substack{x=l \\ y=0}} = 0. \quad (5.55)$$

Juhul a) saame avaldiste (5.54), (5.53) ja (5.48) põhjal

$$d = -\frac{Pl^2}{2EI} \text{ ja } e = \frac{Pl^2}{2EI} - \frac{Pc^2}{2GI}. \quad (5.56)$$

### 5.6. Konsooli paine

5 - 30



Joonis 5.6: Rajatingimused otsas  $x = l$ .

Seega saavad siirdekomponentide avaldisted (5.51) ja kõverdunud telje võrrand (5.53) kuju

$$\begin{cases} u = -\frac{P}{2EI}x^2y - \frac{\nu P}{6EI}y^3 + \frac{P}{6GI}y^3 + \left( \frac{Pl^2}{2EI} - \frac{Pc^2}{2GI} \right)y, \\ v = \frac{\nu P}{2EI}xy^2 + \frac{P}{6EI}x^3 - \frac{Pl^2}{2EI}x + \frac{Pl^3}{3EI}, \\ v|_{y=0} = \frac{P}{6EI}x^3 - \frac{Pl^2}{2EI}x + \frac{Pl^3}{3EI}. \end{cases} \quad (5.57)$$

Võrrand (5.57)<sub>3</sub> annab konsooli vaba otsa  $x = 0$  läbipaindeks  $Pl^3/3EI$ , mis ühtib tugevusõpetusesest tuntud tulemustega.

Juhul b) saame konstantidele väärused

$$e = \frac{Pl^2}{2EI} \quad \text{ja} \quad d = -\frac{Pl^2}{2EI} - \frac{Pc^2}{2GI} \quad (5.58)$$

ning siirdekomponentide ja tala kõverdunud telje jaoks avaldsed

$$\begin{cases} u = -\frac{P}{2EI}x^2y - \frac{\nu P}{6EI}y^3 + \frac{P}{6GI}y^3 + \frac{Pl^2}{2EI}y, \\ v = \frac{\nu P}{2EI}xy^2 + \frac{P}{6EI}x^3 - \left( \frac{Pl^2}{2EI} + \frac{Pc^2}{2GI} \right)x + \frac{Pc^2l}{2GI} + \frac{Pl^3}{3EI}, \\ v|_{y=0} = \frac{P}{6EI}x^3 - \frac{Pl^2}{2EI}x + \frac{Pl^3}{3EI} + \frac{Pc^2}{2GI}(l-x). \end{cases} \quad (5.59)$$

Seega saame võrrandi (5.59)<sub>3</sub> kasutamise puhul tala teljele

$$\frac{Pc^2}{2GI}(l-x) = \frac{3P}{4Gc}(l-x) \quad (5.60)$$

võrra suuremad läbipained kui võrrandi (5.57)<sub>3</sub> puhul. Põhjus on selles, et rajatingimused (5.54) keelavad tala telje pöörded kuid lubavad otspinna pöördeid

### 5.6. Konsooli paine

5 - 32

punktis A (vt. joonis 5.6 a). Rajatingimused (5.55) keelavad aga tala otspinna pöörded kuid lubavad telje pöördeid (vt. joonis 5.6 b). Mõlemal juhul toimuvad pöörded ühe ja sama nurga  $\alpha$  võrra kuigi pöörduvad erinevad elemendid:

$$\alpha \sim \tan \alpha = -\frac{Pc^2}{2GI} = \begin{cases} -\frac{3P}{4cG} & \text{kui } b = 1, \\ -\frac{3P}{4cbG} & \text{kui } b \neq 1. \end{cases} \quad (5.61)$$

Tegelikult jäab aga kogu otspind  $x = l$  paigale ja õiget tulemust ei anna ei juht a) ega b) ning kinnituskoha läheduses ei vasta ka pingajaotus valemitega (5.42) antule. Avaldise (5.42) puhul tuleb rakendada Saint-Venant'i printsipi, st., et (5.42) annaks töepärasema tulemuse, peame olema otsast  $x = l$  piisavalt kaugel. Seega pikade konsoolide puhul on tulemus „täpsem”, st. vastab enam tegelikkusele, kui lihikesele puhul.

## Näited

Joonistada:

1. tala kõverdunud telg (elastne joon) ja
2. ristlõigete  $x = 0; 0, 5l; l$  deformeerunud kuju

erinevate  $c$ ,  $l$  ja  $P$  väärustuse jaoks mõlema ülalvaadeldud ääretetingimuse korral.

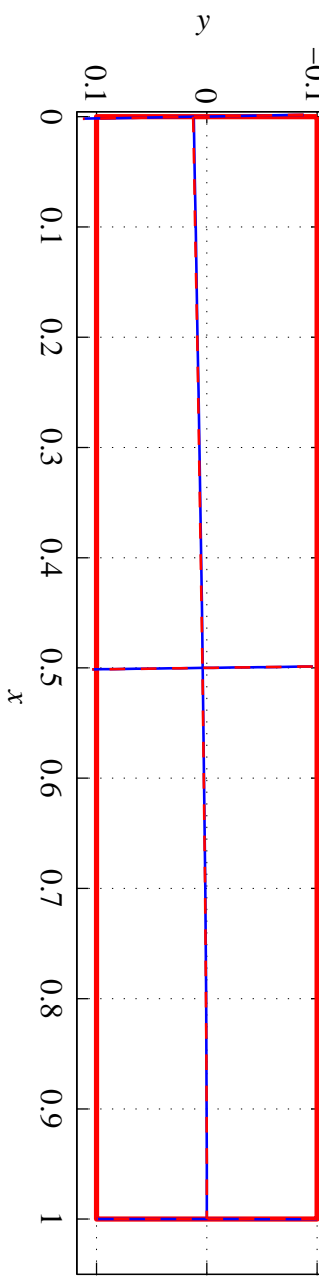
Tala materjal on teras, mille elastsuskonstant  $E = 210$  GPa ja  $\nu = 0,3$  ning tala laius  $b = 0,1$  m.

Järgnevatel joonistel tähistavad  $\alpha_{telg}$  ja  $\alpha_{ots}$  vastavalt kõverdunud telje ja otspinna numbriliselt leitud tõusunurka kraadides punktis A. Nurk  $\alpha_{teor}$ , mis on leitud avaldisest tan  $\alpha_{teor} = 3P/(4cbG)$ , vastab rajatingimuste a) korral kõverdunud otspinna tõusule ja rajatingimuste b) korral kõverdunud telje tõusule punktis A (võrdle joon. 5.6).

### 5.6. Konsooli paine

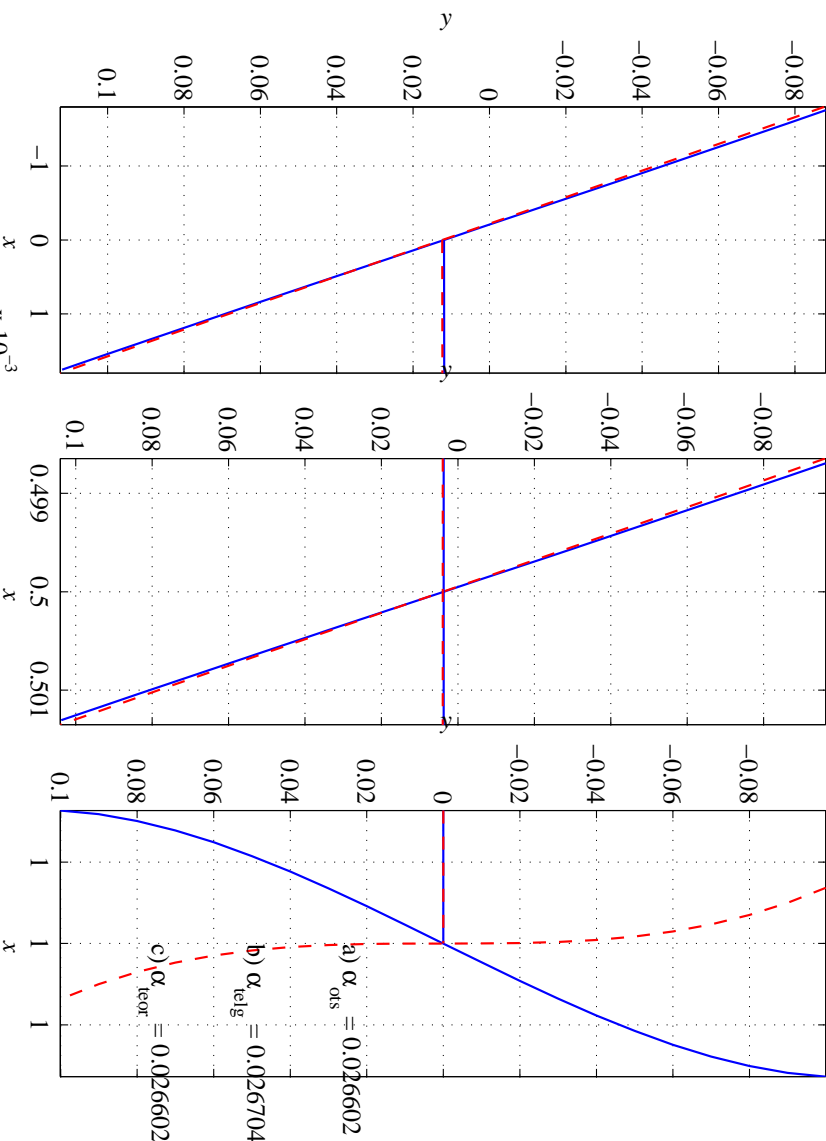
5 - 34

Tala telje ja lõigete  $x = [0; 0,5l; l]$  deformeerunud kuju. ( $b = 0,1\text{m}$ ;  $2c = 0,2\text{m}$ ;  $l = 1\text{m}$ ;  $P = 500 \text{ kN}$ )



Joonis 5.7: Rajatingimused a) — sinine pidev joon; rajatingimused b) — punane kriipsjoon.

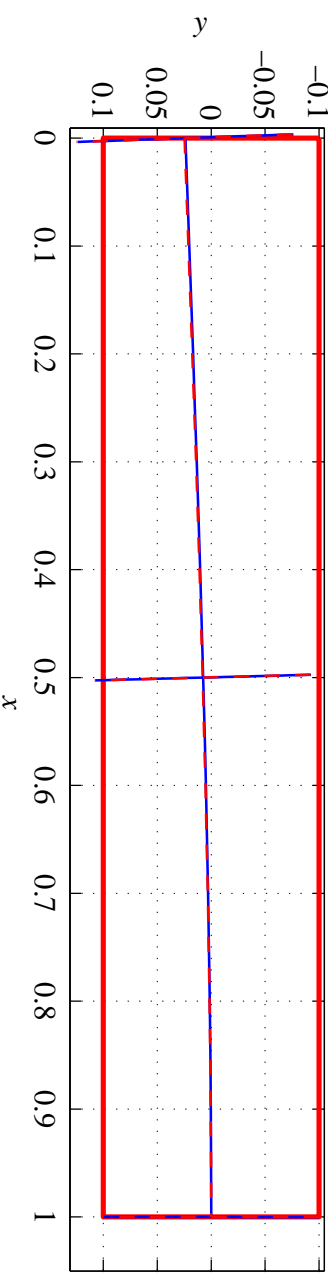
Tala telje ja lõigete  $x = [0; 0.5l; l]$  deformeerunud kuju. ( $b = 0.1\text{m}$ ;  $2c = 0.2\text{m}$ ;  $l = 1\text{m}$ ;  $P = 500\text{ kN}$ )



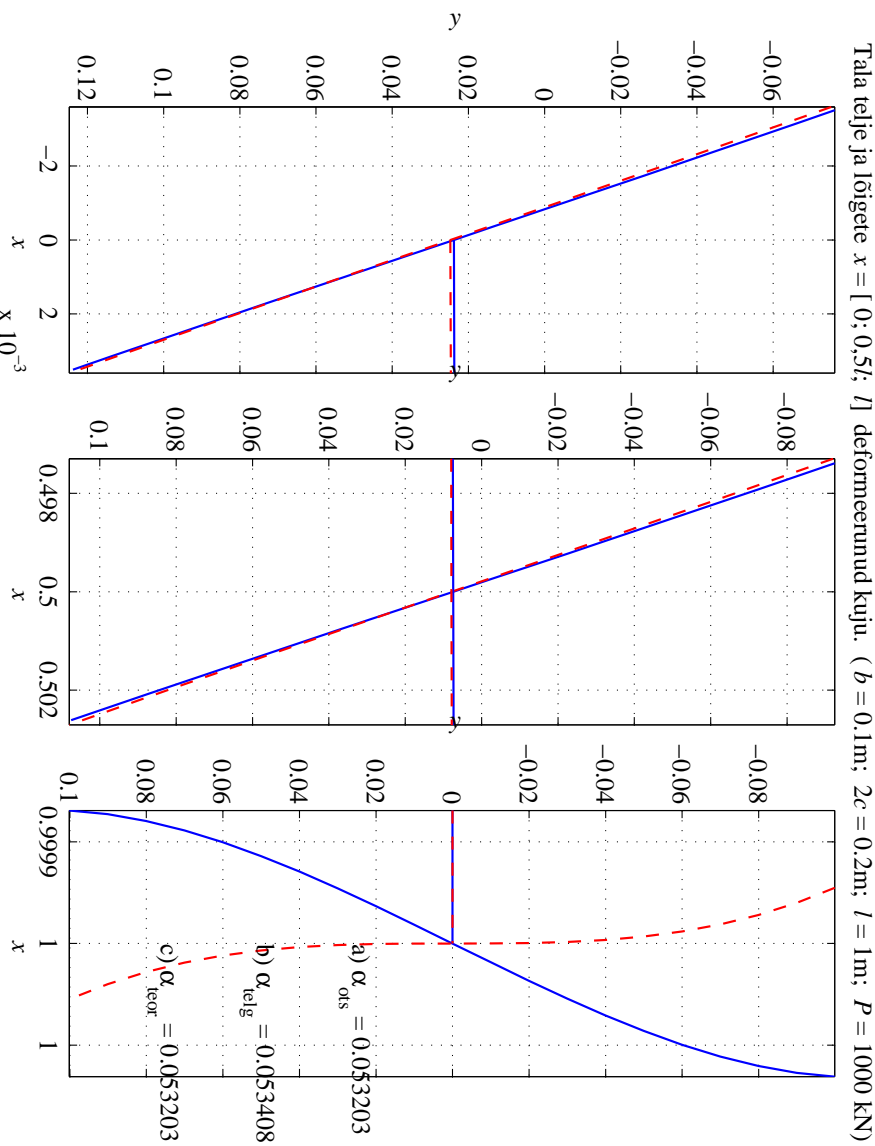
Joonis 5.8: Rajatingimused a) — sinine pidev joon; rajatingimused b) — punane kriipsjoon.

### 5.6. Konsooli paine

Tala telje ja lõigete  $x = [0; 0.5l; l]$  deformeerunud kuju. ( $b = 0.1\text{m}$ ;  $2c = 0.2\text{m}$ ;  $l = 1\text{m}$ ;  $P = 1000\text{ kN}$ )

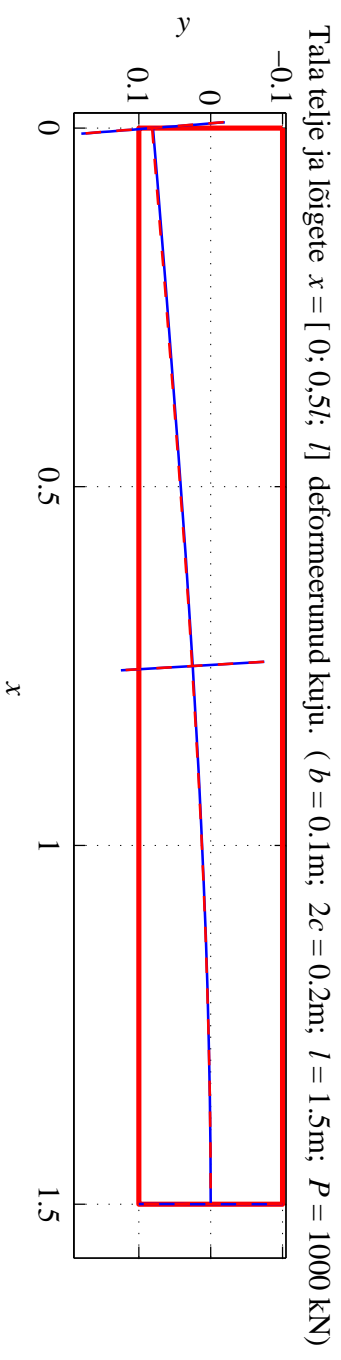


Joonis 5.9: Rajatingimused a) — sinine pidev joon; rajatingimused b) — punane kriipsjoon.



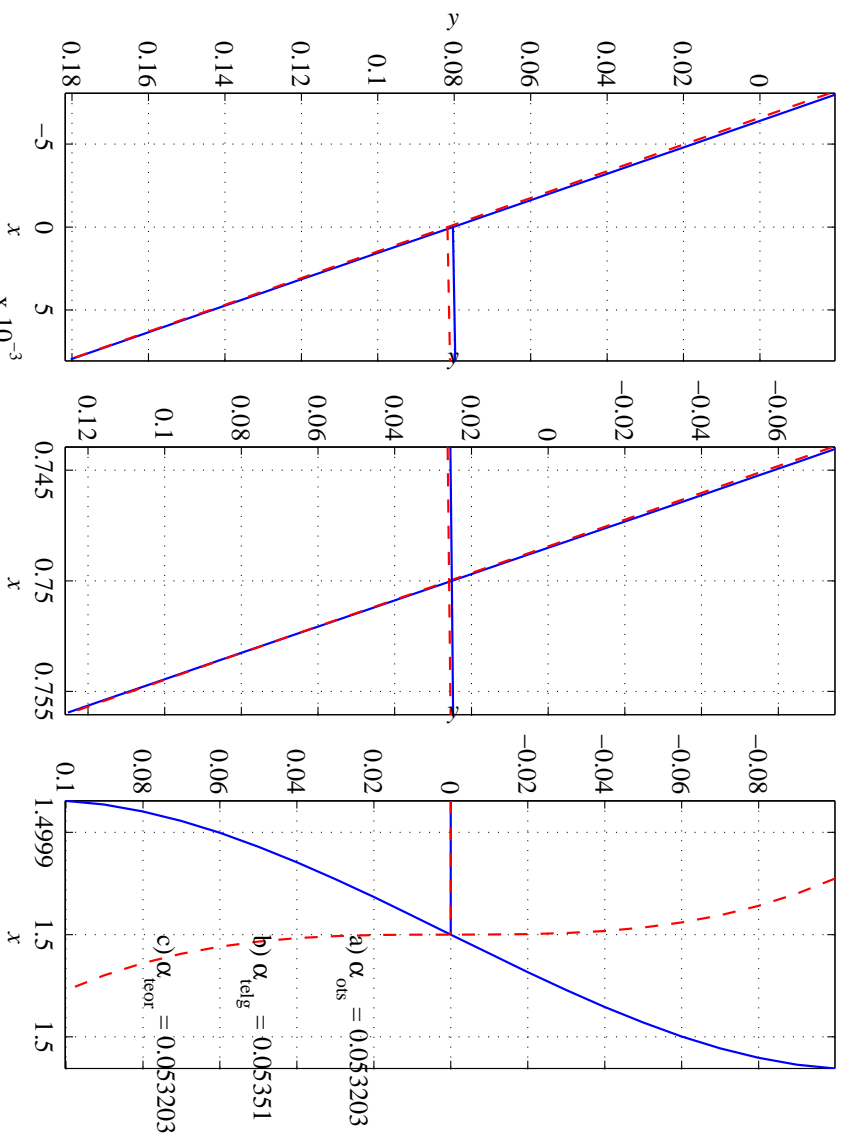
Joonis 5.10: Rajatingimused a) — sinine pidev joon; rajatingimused b) — punane kriipsjoon.

### 5.6. Konsooli paine



Joonis 5.11: Rajatingimused a) — sinine pidev joon; rajatingimused b) — punane kriipsjoon.

Tala telje ja lõigete  $x = [0; 0,5l; l]$  deformeerunud kuju. ( $b = 0.1\text{m}$ ;  $2c = 0.2\text{m}$ ;  $l = 1.5\text{m}$ ;  $P = 1000 \text{ kN}$ )

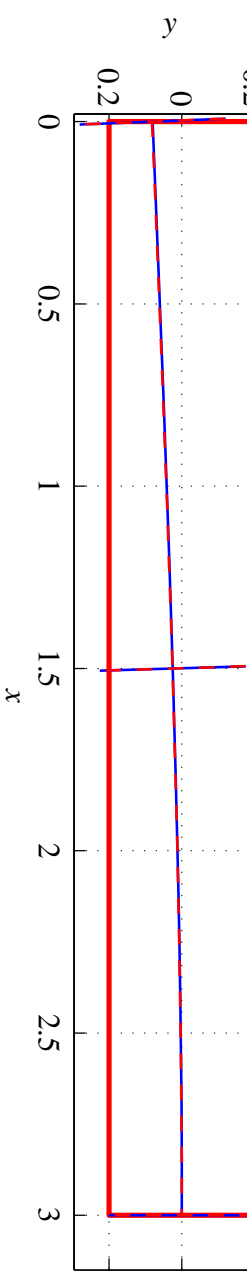


Joonis 5.12: Rajatingimused a) — sinine pidev joon; rajatingimused b) — punane kriipsjoon.

### 5.6. Konsooli paine

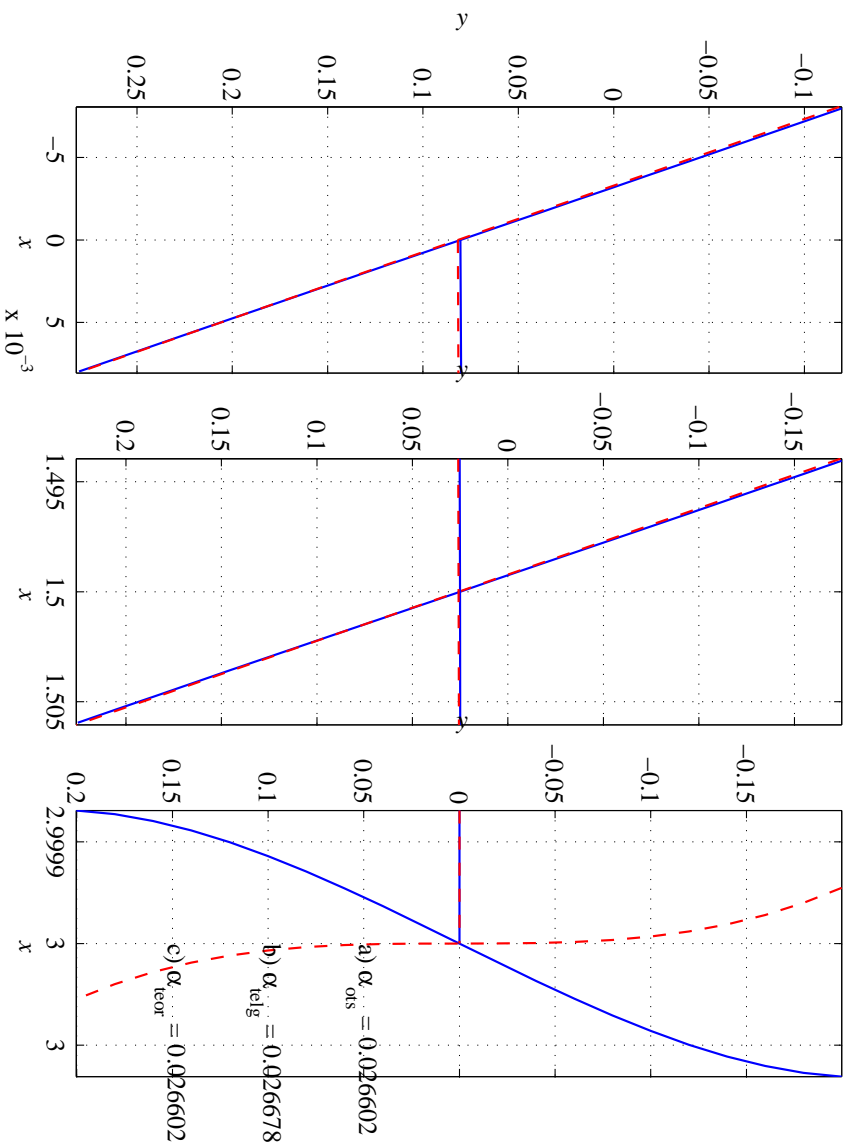
5 - 40

Tala telje ja lõigete  $x = [0; 0,5l; l]$  deformeerunud kuju. ( $b = 0.1\text{m}$ ;  $2c = 0.4\text{m}$ ;  $l = 3\text{m}$ ;  $P = 1000 \text{ kN}$ )



Joonis 5.13: Rajatingimused a) — sinine pidev joon; rajatingimused b) — punane kriipsjoon.

Tala telje ja lõigete  $x = [0; 0,5l; l]$  deformeerunud kuju. ( $b = 0.1\text{m}$ ;  $2c = 0.4\text{m}$ ;  $l = 3\text{m}$ ;  $P = 1000 \text{ kN}$ )

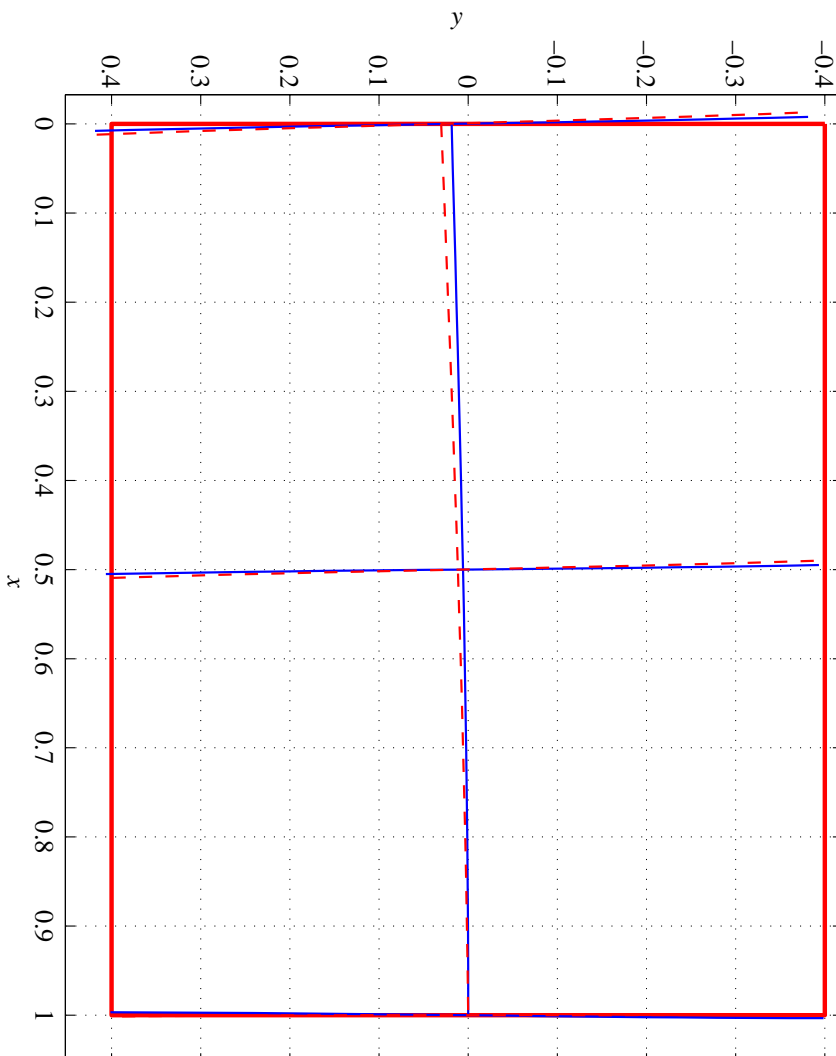


Joonis 5.14: Rajatingimused a) — sinine pidev joon; rajatingimused b) — punane kriipsjoon.

### 5.6. Konsooli paine

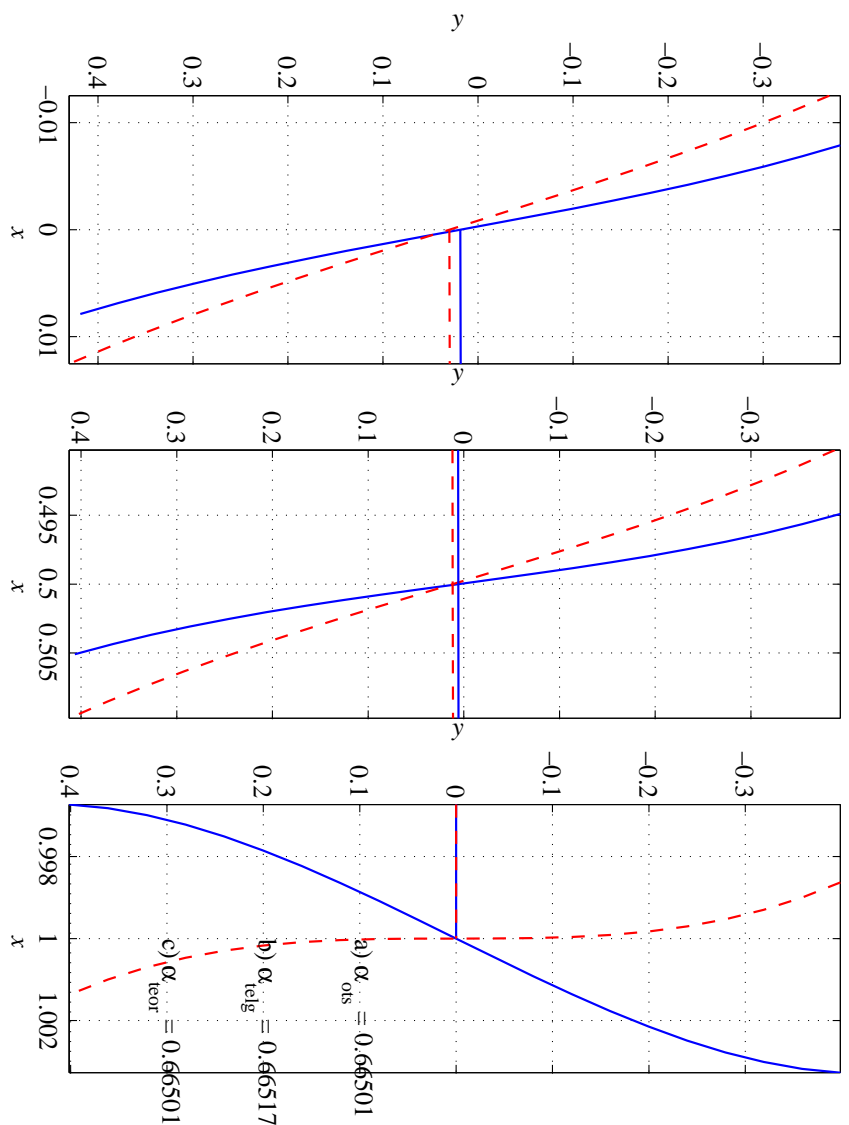
5 - 42

Tala telje ja lõigete  $x = [0; 0,5l; l]$  deformeerunud kuju. ( $b = 0.1\text{m}$ ;  $2c = 0.8\text{m}$ ;  $l = 1\text{m}$ ;  $P = 50000 \text{ kN}$ )



Joonis 5.15: Rajatingimused a) — sinine pidev joon; rajatingimused b) — punane kriipsjoon.

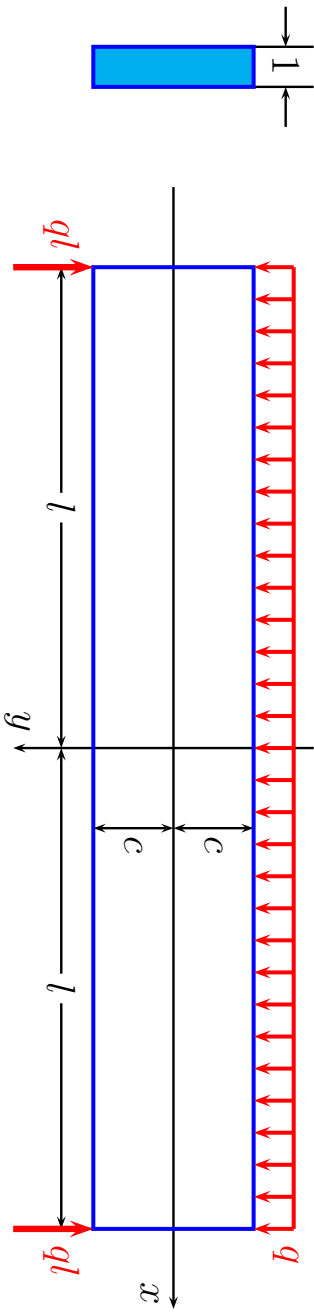
Tala telje ja lõigete  $x = [0; 0.5l; l]$  deformeerunud kuju. ( $b = 0.1\text{m}$ ;  $2c = 0.8\text{m}$ ;  $l = 1\text{m}$ ;  $P = 50000 \text{ kN}$ )



Joonis 5.16: Rajatingimused a) — sinine pidev joon; rajatingimused b) — punane kriipsjoon.

### 5.7 Ühtlaselt koormatud tala paine

Vaatleme kitsa ristkülikulise ristlõikega tala (joonis 5.17). Tala on otstes vabalt toetatud ja talle mõjub ühtlaselt jaotatud koormus intensiivsusega  $q$ . Joonisel on tugeude asemel kujutatud juba tooreaktsioonid.



Joonis 5.17: Ühtlaselt koormatud kitsas ristkülikulise ristlõikega tala; pikkus  $2l$ , kõrgus  $2c$  ja laius 1.

Rajatingimused: a) külgpindadel  $y = \pm c$

$$\tau_{xy}|_{y=\pm c} = 0, \quad \sigma_y|_{y=+c} = 0, \quad \sigma_y|_{y=-c} = -q; \quad (5.62)$$

b) otspindadel  $x = \pm l$

$$\begin{cases} \int_{-c}^c \tau_{xy}|_{x=\pm l} dy = \mp ql, & \text{põikjõud tala otstes,} \\ \int_{-c}^c \sigma_x|_{x=\pm l} dy = 0, & \text{pikijõud tala otstes,} \\ \int_{-c}^c \sigma_x|_{x=\pm l} y dy = 0, & \text{painedemoment tala otstes.} \end{cases} \quad (5.63)$$

Rajatingimusi (5.62) ja (5.63) saab rahuuldada kui kombineerida alajaotuses 5.5 leitud lahendeid.

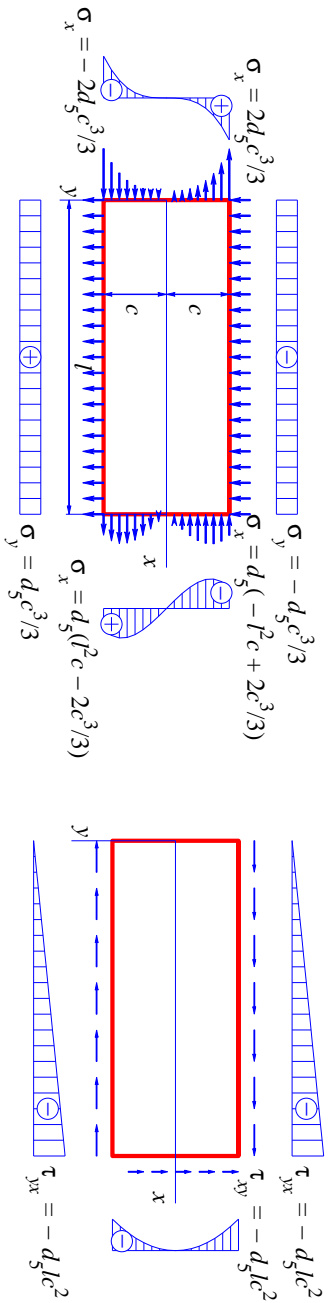
Lähtume lahendist (5.33) (lk. 21)

$$\sigma_x = d_5(x^2 y - \frac{2}{3}y^3), \quad \sigma_y = \frac{1}{3}d_5 y^3, \quad \tau_{xy} = -d_5 x y^2,$$

millele vastavad rajatingimused on kujutatud joonisel 5.18.

### 5.7. Ühtlaselt koormatud tala paine

5 - 46



Joonis 5.18: Viwendat järuku polünoomile vastavad rajatingimused  $d_5 \neq 0$  ja  $a_5 = b_5 = c_5 = e_5 = f_5 = 0$  puhul.

Et vabaneda tõmbepingetest küljel  $y = c$  ja nihkepingetest külgedel  $y = \pm c$  lisame tõmbe  $\sigma_y = a_2$  lahendist (5.21) ja pinged  $\sigma_y = b_3 y$  ning  $\tau_{xy} = -b_3 x$  lahendist (5.23). Kokku saame

$$\begin{cases} \sigma_x = d_5(x^2 y - \frac{2}{3}y^3), & \sigma_y = \frac{1}{3}d_5 y^3 + b_3 y + a_2, \\ \tau_{xy} = -d_5 x y^2 - b_3 x. \end{cases} \quad (5.64)$$

Rajatingimustest (5.62) määramine

$$a_2 = -\frac{q}{2}, \quad b_3 = \frac{3}{4} \frac{q}{c}, \quad d_5 = -\frac{3}{4} \frac{q}{c^3}. \quad (5.65)$$

Arvestades, et  $I = I_z = 2c^3/3$  saame valemitest (5.64) ja (5.65)

$$\begin{cases} \sigma_x = -\frac{q}{2I}(x^2y - \frac{2}{3}y^3), & \sigma_y = -\frac{q}{2I}(\frac{1}{3}y^3 - c^2y + \frac{2}{3}c^3), \\ \tau_{xy} = -\frac{q}{2I}(c^2 - y^2)x. \end{cases} \quad (5.66)$$

Leitud pingekomponendid rahuldavad lisaks rajatingimustele (5.62) ka (5.63)<sub>1-2</sub>. Et oleks rahuldatud ka (5.63)<sub>3</sub> lisame puhale paindele vastavad pinged  $\sigma_x = d_3y$  ja  $\sigma_y = \tau_{xy} = 0$  lahendist (5.23). Rajatingimusest (5.63)<sub>3</sub> leiate

$$d_3 = \frac{3q}{4c} \left( \frac{b^2}{c^2} - \frac{2}{5} \right). \quad (5.67)$$

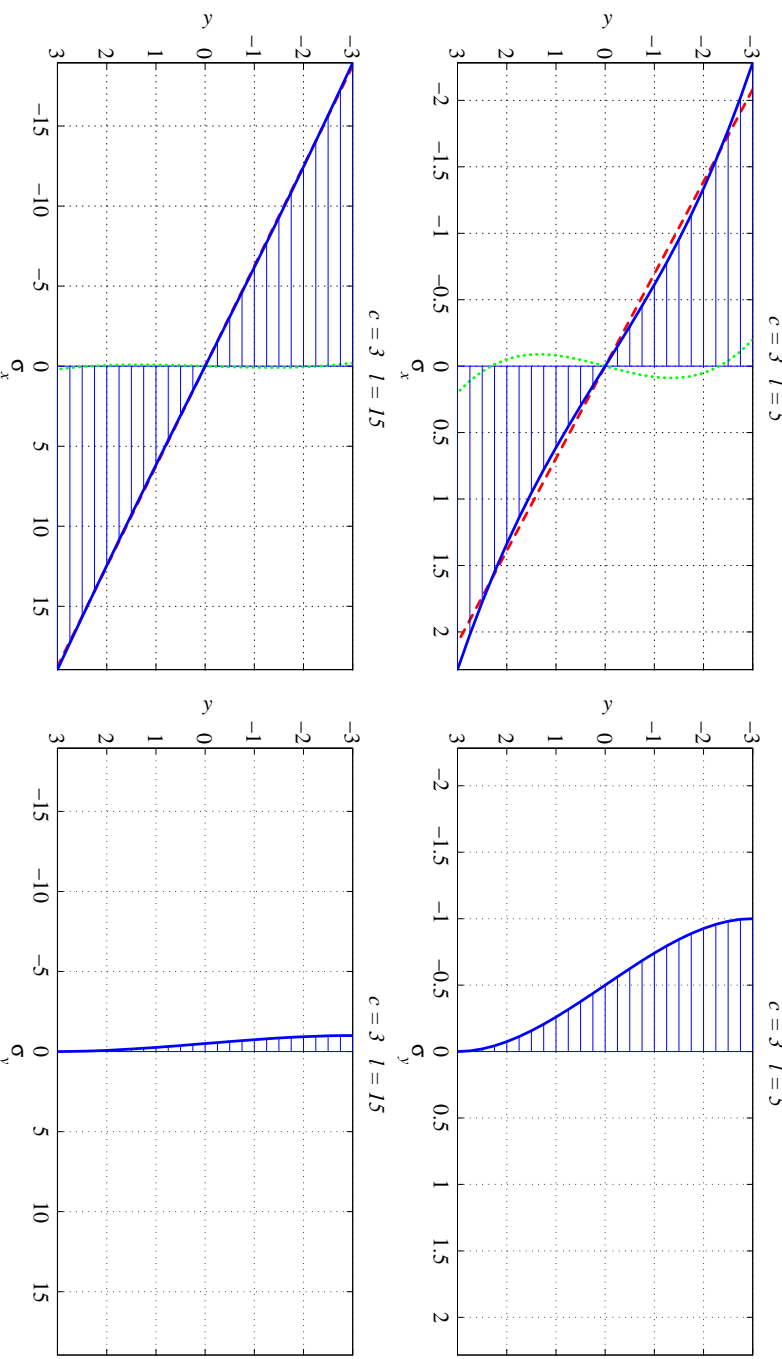
Seega avaldub normaalpinge  $\sigma_x$  lõpuks kujul

$$\sigma_x = \frac{q}{2I} (l^2 - x^2)y + \frac{q}{2I} \left( \frac{2}{3}y^3 - \frac{2}{5}c^2y \right). \quad (5.68)$$

### 5.7. Ühtlaselt koormatud tala paine

Avaldise (5.68) esimene liige vastab elementaarsele paindeteooriale ning teist saab vaadelda kui parandusliiget ja ta on väike vörreldes esimesega. „Parandusliige” on põhjustatud sellest, et elementaarteooria puhul eeldatakse, et  $\sigma_y \equiv 0$ , kuid (5.66) põhjal pole see nii. Lisaks on valemite (5.66) ja (5.68) põhjal selge, et  $\sigma_y$  ja  $\sigma_x$  avaldise „parandusliige” ei sõltu koordinaadist  $x$ .

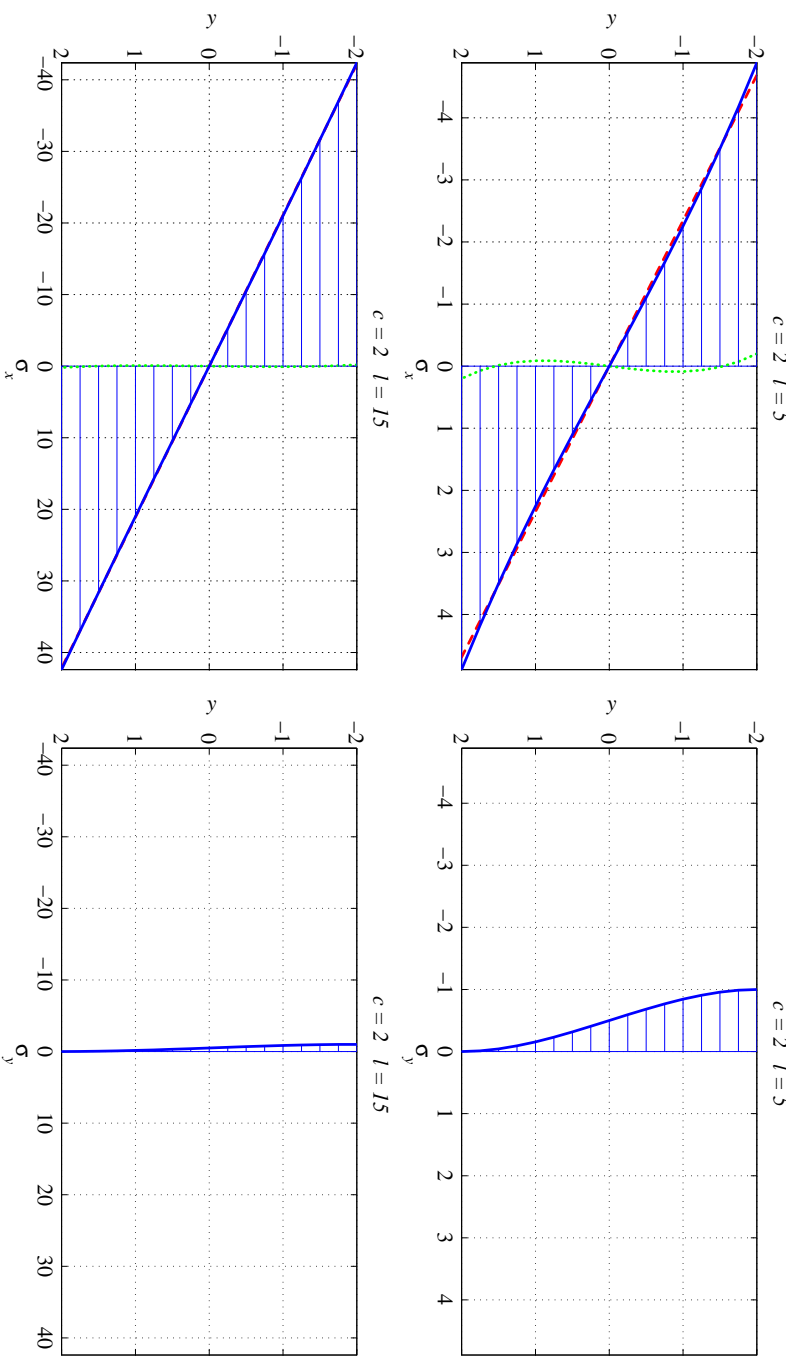
Joonistel 5.19 ja 5.20 on esitatud pingete  $\sigma_x$  ja  $\sigma_y$  epüürid võrdluse mõttes samas mõõtkavas. Sinine pidevjoon vastab  $\sigma_x$  puhul summaarsesse pingele vastavalt valemile (5.68), punane kriipsjoon esitab nn. põhiliiget ja roheline punktiirjoon parandusliiget. Nendelt joonistelt selgub, et mida suurem on tala pikkuse ja kõrguse suhe  $l/c$ , seda tühisem on parandusliikme mõju ja pinge  $\sigma_y$  maksimaalne vääratus vörreldes  $\sigma_x$  maksimaalse väärustega.



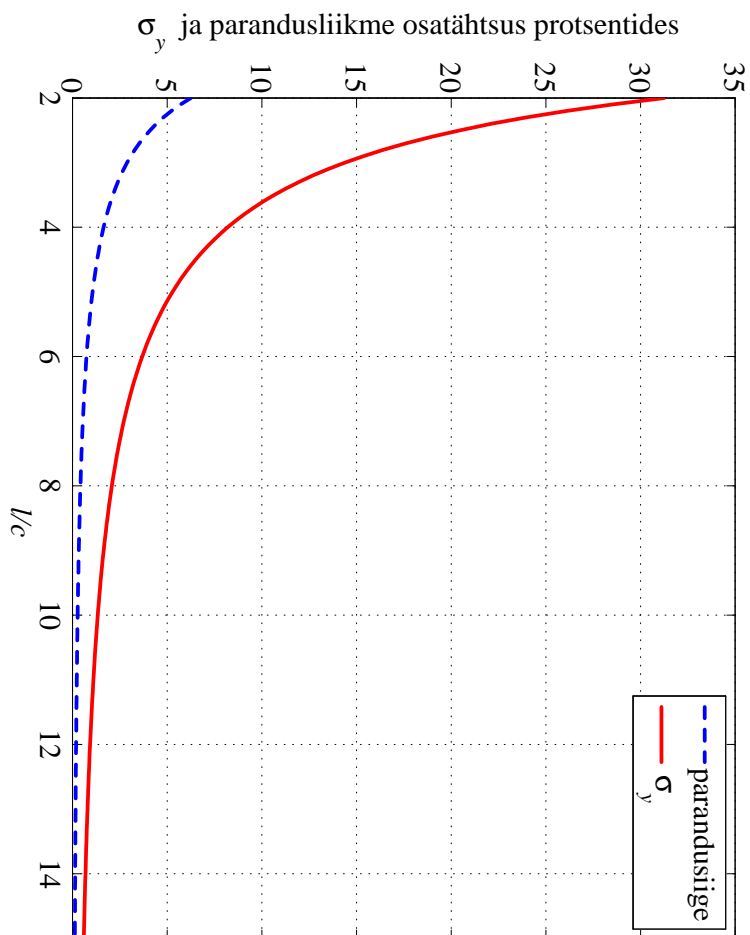
Joonis 5.19: Pinged  $\sigma_x$  ja  $\sigma_y$  ühtlaselt koormatud talas vastavalt valemitele (5.66) ja (5.68). Tala laius on 1 ja kõrgus  $2c = 6$ . Ülemistel joonistel on tala pikkus  $2l = 10$  ja alumistel joonistel  $2l = 30$ . Pinge  $\sigma_x$  on esitatud tala keskel kohal  $x = 0$ . Punane krüpsjoon vastab elementaarteooriast pärit põhilikmele ja rohelise punktiirjoon parandusliikmele.

### 5.7. Ühtlaselt koormatud tala paine

5 - 50



Joonis 5.20: Pinged  $\sigma_x$  ja  $\sigma_y$  ühtlaselt koormatud talas vastavalt valemitele (5.66) ja (5.68). Tala laius on 1 ja kõrgus  $2c = 4$ . Ülemistel joonistel on tala pikkus  $2l = 10$  ja alumistel joonistel  $2l = 30$ . Pinge  $\sigma_x$  on esitatud tala keskel kohal  $x = 0$ . Punane krüpsjoon vastab elementaarteooriast pärit põhilikmele ja rohelise punktiirjoon parandusliikmele.



Joonis 5.21: Pinge  $\sigma_y$  ja parandusliikme osatähtsus protsentides sõltuvana tala pikkuse ja kõrguse suhest.

### 5.7. Ühtlaselt koormatud tala paine

5 - 52

Valemi (5.68) parandusliikme ja pinge  $\sigma_y$  osatähtsuse hindamiseks on joonisel 5.21 esitatud suhted

$$\frac{\max_y \frac{q}{2T} \left( \frac{2}{3}y^3 - \frac{2}{5}c^2y \right)}{\max_y \sigma_x} \quad \text{ja} \quad \frac{\max_y \sigma_y}{\max_y \sigma_x}.$$

Selle joonise põhjal on selge, et parandusliikme osatähtsus on alla 5 % juba siis kui suhe  $l/c > 2,5$  ja pingete  $\sigma_y$  ja  $\sigma_x$  maksimaalsete väärustute suhe on 5 % väiksem kui suhe  $l/c > 5,5$ .

Avaldisega (5.68) esitatud pinged annavad otspindadel nulliga võrduva peavektori ja peamomendi. Lahend on täpne vaid juhul kui otspindadel  $x = \pm l$  mõjuks pindjoud

$$t_x = \pm \frac{3}{4} \frac{q}{c^3} \left( \frac{2}{3}y^3 - \frac{2}{5}c^2y \right). \quad (5.69)$$

Saint-Venant'i printsibi põhjal loetakse lahend täpseks punktides, mis on ots-test  $x = \pm l$  kaugemal kui tala kõrgus, st.  $2c$ , ka  $t_x = 0$  puhul.

Tala punktide siirded  $u$  ja  $v$  leitakse analoogiliselt alajaotusele 5.6. Nüüd eeldatakse, et punktis  $x = y = 0$  on horisontaalsed siirded võrdsed nulliga ja vertikaalsed siirded võrdsed läbipaindega  $\delta$ . Kokku saame, et

$$\begin{cases} u = \frac{q}{2EI} \left[ \left( l^2x - \frac{x^3}{3} \right) y + x \left( \frac{2}{3}y^3 - \frac{2}{5}c^2y \right) + \nu x \left( \frac{1}{3}y^3 - c^2y + \frac{2}{3}c^3 \right) \right], \\ v = -\frac{q}{2EI} \left\{ \frac{y^4}{12} - \frac{c^2y^2}{2} + \frac{2}{3}c^3y + \nu \left[ (l^2 - x^2) \frac{y^2}{2} + \frac{y^4}{6} - \frac{1}{5}c^2y^2 \right] \right\} - \\ - \frac{q}{2EI} \left[ \frac{l^2x^2}{2} - \frac{x^4}{12} - \frac{1}{5}c^2x^2 + \left( 1 + \frac{1}{2}\nu \right) c^2x^2 \right] + \delta. \end{cases} \quad (5.70)$$

Kuna (5.70)<sub>1</sub> põhjal horisontaalsed siirded tala keskjoonel

$$u|_{y=0} = \frac{\nu q x}{2E}, \quad (5.71)$$

siis ei osutu keskjoon neutraalseks jooneks. Tala keskjoone punktide vertikaalne siire

$$v|_{y=0} = \delta - \frac{q}{2EI} \left[ \frac{l^2x^2}{2} - \frac{x^4}{12} - \frac{1}{5}c^2x^2 + \left( 1 + \frac{1}{2}\nu \right) c^2x^2 \right]. \quad (5.72)$$

### 5.7. Ühtlaselt koormatud tala paine

Kuna tala otsad on vabalt toetatud, siis  $v|_{x=\pm l} = 0$  ja

$$\delta = \frac{5}{24} \frac{ql^4}{EI} \left[ 1 + \frac{12}{5} \frac{c^2}{l^2} \left( \frac{4}{5} + \frac{\nu}{2} \right) \right]. \quad (5.73)$$

Avaldises (5.73) nurksulgude ees olev kordaja esitab elementaarteooriale vastavat läbipainet (eeldades, et tala ristlõiked jäävad deformatsioonil tasapinnalisteks). Teine liige nurksulgudes esitab parandust, st. arvestab põikjõu mõju läbipaindele.

Diferentseerides (5.72) kaks korda saame keskjoone kõverust iseloomustava avaldise

$$\frac{\partial^2 v}{\partial x^2} \Big|_{y=0} = \frac{q}{EI} \left[ \frac{l^2 - x^2}{2} + c^2 \left( \frac{4}{5} + \frac{\nu}{2} \right) \right]. \quad (5.74)$$

Ka selles avaldises vastab esimene liige elementaarteooria valemile ning on proporsionaalne paindemomendiga  $q(l^2 - x^2)/2$ .

Kui soovitakse arvesse võtta ka omakaalu, tuleb lisada pinge

$$\sigma_y = \rho g(c - y), \quad (5.75)$$

mis annab tala ülemisel pinnal  $y = -c$  pingeks  $\sigma_y = 2\rho g(c)$  ja alumisel pinnal  $y = c$  vastavalt  $\sigma_y = 0$ .

## Näide

- Tala pikkus  $2l = 10$  m, kõrgus  $2c = 0,8$  m ja laius  $b = 0,1$  m, koormus  $q = 100$  kN/m.

- Materjalid:

Teras:  $\rho = 7800$  kg/m<sup>3</sup>,  $E = 210$  GPa,  $\nu = 0.3$ , omakaal 61,2144 kN.  
 Alumiinium:  $\rho = 2600$  kg/m<sup>3</sup>,  $E = 70$  GPa,  $\nu = 0.35$ , omakaal 20,4048 kN.

Vask:  $\rho = 8900$  kg/m<sup>3</sup>,  $E = 110$  GPa,  $\nu = 0.32$ , omakaal 69,8472 kN.

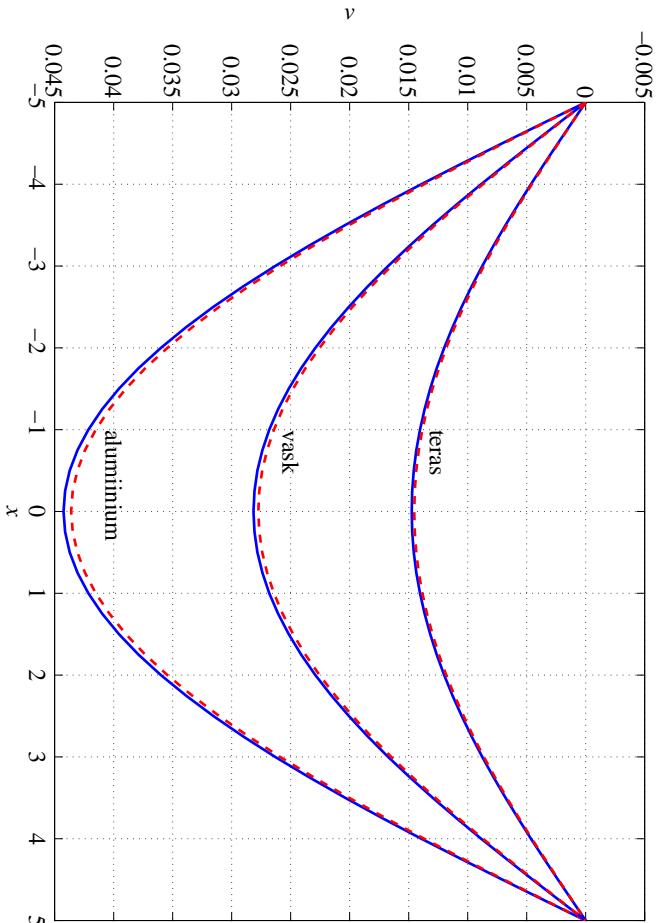
Joonistada tala kõverdunud keskjoon vastavalt valemile (5.72) ja elementaar-teooria valemile<sup>2</sup>

$$v = \frac{q}{EI} \left[ \frac{(x+l)^4}{24} - \frac{l(x+l)^3}{6} + \frac{l^3(x+l)}{3} \right] \quad (5.76)$$

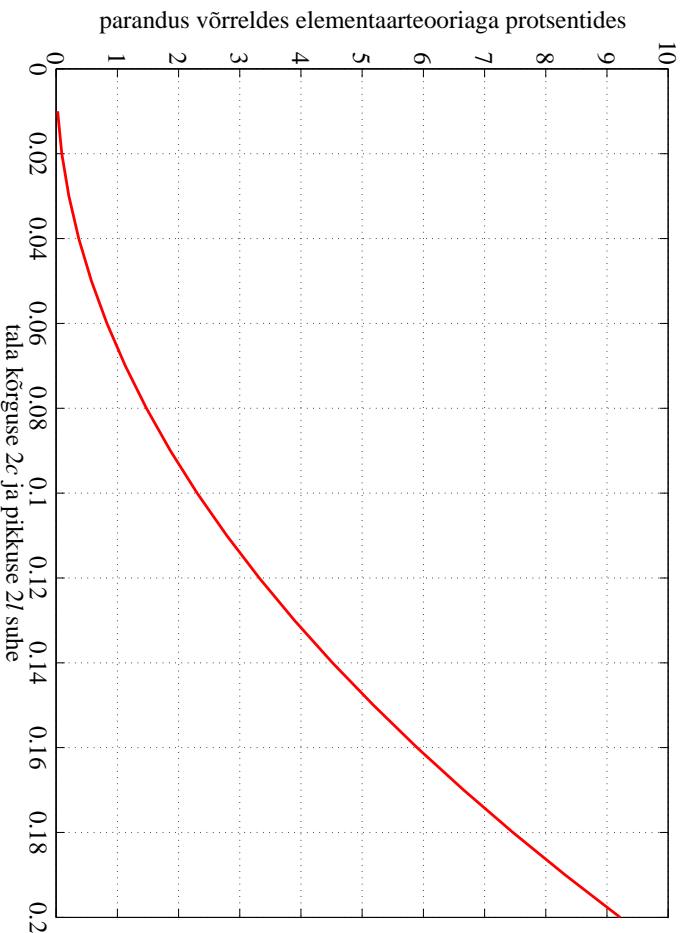
ning hinnata valemi (5.73) nn. parandusliikme osatähtsust sõltuvana tala kõrguse ja pikuse suhest.

<sup>2</sup>Parnes, Raymond. Solid mechanics in engineering. Wiley, Chichester, 2001.

### 5.7. Ühtlaselt koormatud tala paine



Joonis 5.22: Vabalt toetatud tala telje siirded. Punane kriipsjoon vastab nn. elementaarteooriale ja sinine pidevjoon valemile (5.72).



Joonis 5.23: Vabalt toetatud tala paine. Valemi (5.73) parandusliikme osatähtsus protsentides sõltuvana tala kõrguse ja pikkuse suhest (vt. alajaotus 5.7 lk. 54).

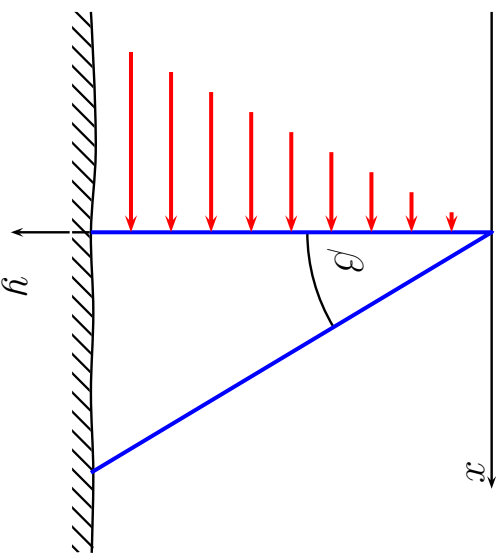
### 5.8 Hüdrostaatiliselt koormatud tugiseina arvutus.

5 - 58

#### 5.8. Hüdrostaatiliselt koormatud tugiseina arvutus.

Vaatleme kolmukse ristlöikega tugiseina, millele mõjub hüdrostaatiline surve (joon 5.24).

Olgu vedeliku tihedus  $\rho$ , tugiseina kaldenurk  $\beta$  ja seine materjali erikaal  $\gamma$ . Seega on seinale mõjuvateks välisjoududeks vedelikust põhjustatud hüdrostaatiline surve  $p = \rho gy$  ja mahujõud  $Y = \gamma$  (seina erikaal). Hülgame seine ja vundamendi valised mõjud, st., vaatleme  $0 \leq y < \infty$ .



Joonis 5.24: Hüdrostaatiliselt koormatud kolmukse ristlöikega tugisein.

Sellistel eeldustel on tegu tasapinnalise ülesandega ja rajatingimused

$$\begin{cases} p_{\nu x} = \sigma_x l + \tau_{yx} m, \\ p_{\nu y} = \tau_{xy} l + \sigma_y m. \end{cases}$$

Vertikaalsel küljel  $x = 0$  ja pinnanormaali suunakoosinused  $l = -1$  ning  $m = 0$ . Kuna sellele seinale mõjub hüdrostaatiline surve  $p$ , siis vastavalt rajatingimus-tele

$$\begin{cases} \rho g y = \sigma_x \cdot (-1) + \tau_{yx} 0, \\ 0 = \tau_{xy} \cdot (-1) + \sigma_y 0, \end{cases} \Rightarrow \begin{cases} \sigma_x = -\rho g y, \\ \tau_{xy} = 0. \end{cases} \quad (5.77)$$

Kaldküljel  $x = y \tan \beta$ ,  $l = \cos \beta$ ,  $m = -\cos(90^\circ - \beta) = -\sin \beta$ . Kuna kaldkülj on koormusest vaba, siis saavad rajatingimused kuju

$$\begin{cases} 0 = \sigma_x \cos \beta + \tau_{yx} (-\sin \beta), \\ 0 = \tau_{xy} \cos \beta + \sigma_y (-\sin \beta), \end{cases} \Rightarrow \begin{cases} \sigma_x = \tau_{yx} \tan \beta, \\ \tau_{xy} = \sigma_y \tan \beta. \end{cases} \quad (5.78)$$

Lahendi leidmisel lähtume kuuppolünoomist (5.22)

$$\varphi_3 = \frac{a_3}{3 \cdot 2} x^3 + \frac{b_3}{2} x^2 y + \frac{c_3}{2} x y^2 + \frac{d_3}{3 \cdot 2} y^3.$$

### 5.8. Hüdrostaatiliselt koormatud tugiseina arvutus.

Vastavalt valemitele (5.15) avalduvad pingekomponendid kuju

$$\sigma_x = c_3 x + d_3 y; \quad \sigma_y = a_3 x + b_3 y; \quad \tau_{yx} = -b_3 x - c_3 y - \gamma x. \quad (5.79)$$

Alternatiivsete valemite (5.16) kaudu aga kujul

$$\sigma_x = c_3 x + d_3 y; \quad \sigma_y = a_3 x + b_3 y - \gamma y; \quad \tau_{yx} = -b_3 x - c_3 y. \quad (5.80)$$

Järgnevalt näeme, et mõlemal juhul saame pärast rajatingimuste (5.77) ja (5.78) rahuldamist sama tulemuse.

Lähtume esiteks valemeist (5.79). Rajatingimused vertikaalküljel (5.77) annavad

$$d_3 = -\rho g \quad \text{ja} \quad c_3 = 0. \quad (5.81)$$

Kaldküljel  $x = y \tan \beta$  ja rajatingimused (5.78) saavad kuju

$$\begin{cases} 2c_3 \tan \beta + b_3 \tan^2 \beta + d_3 + \gamma \tan^2 \beta = 0 \\ a_3 \tan^2 \beta + 2b_3 \tan \beta + c_3 + \gamma \tan \beta = 0 \end{cases} \quad (5.82)$$

Arvestades (5.81) saame viimastest avaldada

$$a_3 = \frac{\gamma}{\tan \beta} - \frac{2\rho g}{\tan^3 \beta}, \quad b_3 = \frac{\rho g}{\tan^2 \beta} - \gamma. \quad (5.83)$$

Sellega ongi neli tundmatut konstanti määratud ning pingete avaldised (5.79) saavad kuju

$$\sigma_x = -\rho gy; \quad \sigma_y = (\gamma - 2A) \frac{x}{\tan \beta} + (A - \gamma)y; \quad \tau_{yx} = -Ax, \quad (5.84)$$

kus konstant

$$A = \frac{\rho g}{\tan^2 \beta}. \quad (5.85)$$

Kui teha sama protseduur läbi alternatiivsete pingeaavaldiste (5.80) jaoks, siis saame rajatingimustest (5.77) tulemuseks avaldised (5.81). Rajatingimused kaldkülijel annavad aga valemeist (5.83) erineva tulemuse konstandi  $b_3$  jaoks

$$a_3 = \frac{\gamma}{\tan \beta} - \frac{2\rho g}{\tan^3 \beta}, \quad b_3 = \frac{\rho g}{\tan^2 \beta}. \quad (5.86)$$

Pannes aga avaldistega (5.81) ja (5.86) esitattud konstantide  $a_3, \dots, d_3$  vääritud pingete avaldistesse (5.80) saame sama tulemuse, mis eelmiselgi juhul. Seega võime kokkuvõttes öelda, et vaadeldava ülesande korral on pinged tugiseinas leitavad valemitite (5.84) abil.

### 5.8. Hüdrostaatiliselt koormatud tugiseina arvutus.

5 - 62

Valemi (5.84)<sub>2</sub> põhjal vertikaalküljel  $\sigma_y = (A - \gamma)y$ . Seega selleks, et vältida tõmbepingeid ( $\sigma_y > 0$ ) peab  $A < \gamma$ , kust saame kaldenurga jaoks kriitilise väärtsuse

$$\beta^* = \arctan \sqrt{\frac{\rho g}{\gamma}}. \quad (5.87)$$

Kui  $\beta > \beta^*$ , siis on vertikaalkülg surutud. Võttes vee tiheduseks  $\rho = 1000 \text{ kg/m}^3$  ja seina materjaliks betooni erikaaluga  $\gamma = 2400g \text{ N/m}^3$  saame  $\beta^* = \arctan \sqrt{1000/2400} = 32,8^\circ$ . Erikaalu  $\gamma = 2000g \text{ N/m}^3$  korral saame aga  $\beta^* = 35,2^\circ$ .

Vaatleme nüigid tugiseina lõiget  $y = y_0$ . On selge, et selles lõikes  $0 \leq x \leq y_0 \tan \beta$ . Vastavalt valemeile (5.84) on normaalpinge  $\sigma_x = -\rho gy_0$ , st. konstantne. Teine normaalpinge, st.  $\sigma_y$ , muutub aga väärustest  $\sigma_y|_{x=0} = (A - \gamma)y_0$  väärusteni  $\sigma_y|_{x=x_0} = -Ay_0$ . Nihkepinge  $\tau_{xy}|_{x=0} = 0 \leq \tau_{xy} \leq \tau_{xy}|_{x=x_0} = -Ay_0 \tan \beta$ . ✓

Tugevusõpetuse kursuse raames saadud valemid, nn. 0-järku lahend, erineb saadust oluliselt pingete  $\sigma_x$  ja  $\tau_{xy}$  osas, kusjuures  $\sigma_y$  langeb kokku:

$$\sigma_x^0 = 0; \quad \sigma_y = \sigma_y^0 \quad \tau_{xy}^0 = -\frac{3\rho g}{\tan^3 \beta} \left( x \tan \beta - \frac{x^2}{y} \right). \quad (5.88)$$

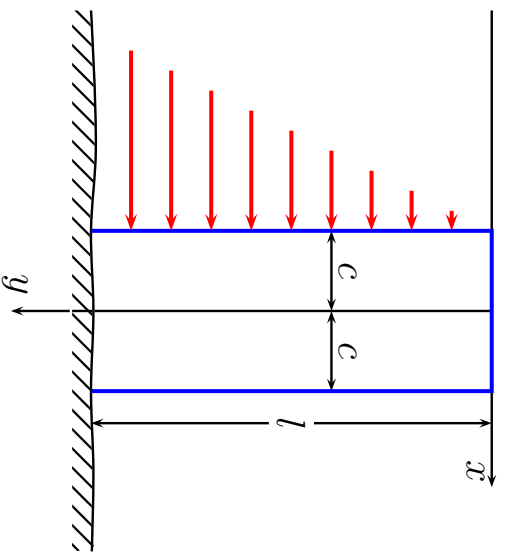
Nihkepinge avaldise puhul on 0-järku teorias lähtutud samadest eeldustest, mis talade paindel ja saadud paraboolne jaotus.

### Märkused:

- Vaadeldava ülesande lahendusele ei anna polünoomi järgu tõstmine mitte mingeid liisaliikmeid — kõik kõrgemat järku liikmed peavad vaadeldavate rajatingimustele korral olema nullid.
- Käesoleva lahendi puhul pole arvestatud vundamendi mõju — tugiseina alumisel osal on lubatud vabalt deformeeruda. Tegelikkuses võltub aga suuremate  $y$  väärustuste korral vertikaalne deformatsioon vundamendi jäikusest.
- Kui me sooviksime arvestada ka rajatingimusi tugiseina alumisel osal (seina ja vundamendi kinnituskohas), siis muutuks ülesanne tunduvalt keerukamaks ja teda poleks võimalik lahendada polünoomides.
- Võttes kasutusele kuuendat järu polünoomid, saab leida lahendi ristkülikulise tugiseina (vertikaalse konsooli) jaoks. Seda vaadeldakse järgmises alajaotuses.

### 5.9 Hüdrostaatiliselt koormatud vertikaalne konsool

5 - 64



Joonis 5.25: Vertikaalse konsoolile mõjuv hüdrostaatiline surve.

Kui üldistada alajaotuses 5.5 esitatud lahendusmetoodikat ja vaadelda 6. järu polünoomi, siis saame leida pingegaotuse hüdrostaatiliselt koormatud vertikaalse konsooli jaoks <sup>3</sup>:

<sup>3</sup>Vaadeldav lahend päri neeb Timoshenko ja Goodier õpikust ning tegelikult pole ka siin arvesse võetud vundamendi mõju.

$$\begin{cases} \sigma_x = -\frac{\rho gy}{2} + \rho gy \left( \frac{x^3}{4c^3} - \frac{3x}{4c} \right), & \sigma_y = \frac{\rho gy^3 x}{4c^3} + \frac{\rho g}{4c^3} \left( -2yx^3 + \frac{6}{5}c^2 yx \right), \\ \tau_{xy} = \frac{3\rho gy^2}{8c^3} (c^2 - x^2) - \frac{\rho g}{8c^3} (c^4 - x^4) + \frac{\rho g}{4c^3} \frac{3}{5} c^2 (c^2 - x^2). \end{cases} \quad (5.89)$$

Siiin tähistab  $\rho$  vedeliku tihedust ( $\text{kg}/\text{m}^3$ ) ja seega on koormuse intensiivsus sügavusel  $y$  võrdne  $\rho gy$ , põikjoud  $\rho gy^2/2$  ja painemoment  $\rho gy^3/6$ .  $\sigma_y$  ja  $\tau_{xy}$  avaldiste esimesed liikmed vastavad jällegi elementaarteooriale.

Konsooli vabal otsal  $y = 0$  on leitud lahendi põhjal normalpinged nullid. Nihkepinged

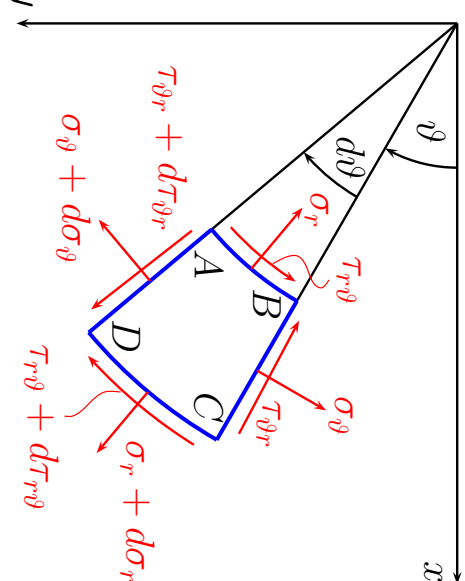
$$\tau_{xy} = -\frac{\rho g}{8c^3} (c^4 - x^4) + \frac{\rho g}{4c^3} \frac{3}{5} c^2 (c^2 - x^2) \quad (5.90)$$

pole nullid, kuid on väikesed üle kogu pinna ning nende peavektor on ligikaudu null. See võimaldab lugeda väliskoormuse kohal  $y = 0$  nulliks.

Kui tahetakse arvesse võtta ka konsooli materjali omakaal, siis tuleb  $\sigma_y$  avaldisse lisada liige  $-\gamma y$ , kus  $\gamma$  on konsooli materjali erikaal.

### *5.10. Tasapinnalised ülesanded polaarkoordinaatides*

#### 5.10.1 Tasakaaluvoorrandid ja Airy' pingefunktsioon



Joonis 5.26: Väikese elemendi ABCD tasakaal.

DRK-s esitatud tasakaaluvoorrandite analoog saadakse kui vaadeldakse elemendi  $ABCD$  tasakaalu ja projekteeritakse tema kilgedel mõjuvad summaarsed joud

ja mahujoud  $\vartheta$  ja  $r$  sihile. Minnes üle piirile  $d\vartheta \rightarrow 0$  ja  $dr \rightarrow 0$  saame

$$\begin{cases} \frac{\partial \sigma_r}{\partial r} + \frac{1}{r} \frac{\partial \tau_{r\vartheta}}{\partial \vartheta} + \frac{\sigma_r - \sigma_\vartheta}{r} + f_r = 0, \\ \frac{1}{r} \frac{\partial \sigma_\vartheta}{\partial \vartheta} + \frac{\partial \tau_{r\vartheta}}{\partial r} + \frac{2\tau_{r\vartheta}}{r} + f_\vartheta = 0. \end{cases} \quad (5.91)$$

Siiin tähistavad  $f_r$  ja  $f_\vartheta$  mahujoudude projektsioone radiaal ja tangentsiaal suunale ( $r$  ja  $\vartheta$  kasvamise suunale).

Ka siiin saab mahujoudude puudumisel sisse tuua Airy' pingefunktsiooni  $\varphi = \varphi(\vartheta, r)$ , nii et

$$\begin{cases} \sigma_r = \frac{1}{r} \frac{\partial \varphi}{\partial r} + \frac{1}{r^2} \frac{\partial^2 \varphi}{\partial \vartheta^2}, & \sigma_\vartheta = \frac{\partial^2 \varphi}{\partial r^2}, \\ \tau_{r\vartheta} = \frac{1}{r^2} \frac{\partial \varphi}{\partial \vartheta} - \frac{1}{r} \frac{\partial^2 \varphi}{\partial r \partial \vartheta} = -\frac{\partial}{\partial r} \left( \frac{1}{r} \frac{\partial \varphi}{\partial \vartheta} \right). \end{cases} \quad (5.92)$$

Nüüd Laplace'i operaator

$$\nabla^2 = \left( \frac{\partial^2}{\partial x^2} + \frac{\partial^2}{\partial y^2} \right) = \left( \frac{\partial^2}{\partial r^2} + \frac{1}{r} \frac{\partial}{\partial r} + \frac{1}{r^2} \frac{\partial^2}{\partial \vartheta^2} \right) \quad (5.93)$$

### [5.10.2. Deformatsioonikomponendid polaarkoordinaatides](#) 5 - 68

ja biharooniline võrrand

$$\nabla^4 \varphi = \left( \frac{\partial^2}{\partial r^2} + \frac{1}{r} \frac{\partial}{\partial r} + \frac{1}{r^2} \frac{\partial^2}{\partial \vartheta^2} \right)^2 \varphi = 0. \quad (5.94)$$

Kui pingekomponendid ja seega ka  $\varphi$  sõltuvad vaid koordinaadist  $r$ , siis saab võrrandi (5.94) üldlahendi esitada kujul

$$\varphi = A \ln r + B r^2 \ln r + C r^2 + D. \quad (5.95)$$

## 5.10.2 Deformatsioonikomponendid polaarkoordinaatides

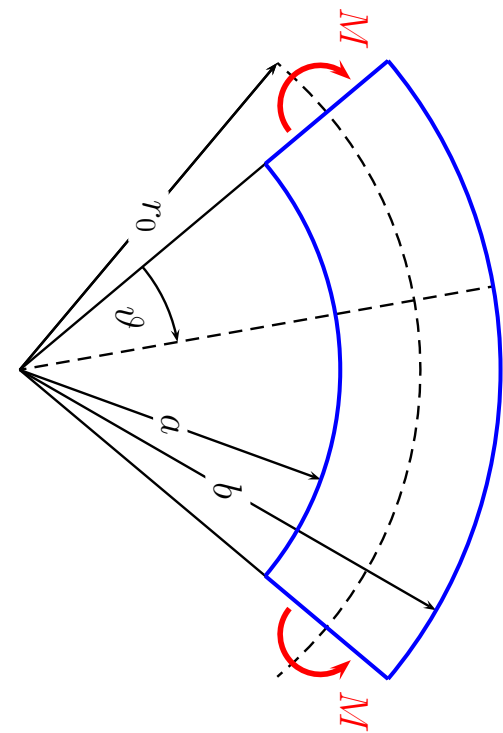
$$\begin{cases} \varepsilon_r = \frac{\partial u}{\partial r}, & \varepsilon_\vartheta = \frac{u}{r} + \frac{1}{r} \frac{\partial v}{\partial \vartheta}, \\ \gamma_{r\vartheta} = \frac{1}{r} \frac{\partial u}{\partial \vartheta} + \frac{\partial v}{\partial r} - \frac{v}{r}. \end{cases} \quad (5.96)$$

Siiin mõistetakse suurusi  $u$  ja  $v$  kui radiaalset ja tangentsiaalset siirdekomponeenti. Hooke'i seaduse kuju jäääb endiseks:

$$\varepsilon_r = \frac{1}{E} (\sigma_r - \nu \sigma_\vartheta), \quad \varepsilon_\vartheta = \frac{1}{E} (\sigma_\vartheta - \nu \sigma_r), \quad \gamma_{r\vartheta} = \frac{\tau_{r\vartheta}}{G}. \quad (5.97)$$

Siirete määramine toimub analoogiliselt DRK-ga.

## 5.11 Kõvera tala paine



Joonis 5.27: Kõvera tala paine.

Näitena vaatleme kõvera tala puhist painet, st. vaatleme tala, mis paindub kõverustasapinnas otstesse rakendatud momentide  $M$  mõjul. Sel juhul jäab paindemoment konstantseks kogu varda pikkuse ulatuses, järelikult sõltub pinge vaid radiaalkoordinaadist  $r$ . Seega saab kasutada lahendit (5.95).

### 5.11. Kõvera tala paine

Rajatingimused:

$$\begin{cases} \sigma_r = 0, & r = a, r = b, \\ \int_a^b \sigma_\vartheta dr = 0, & \int_a^b \sigma_\vartheta r dr = -M \\ \tau_{r\vartheta} = 0, & \text{kõgil rajapindadel.} \end{cases} \quad (5.98)$$

Pärast rajatingimuste (5.98) rahuldamist ja tähistuse

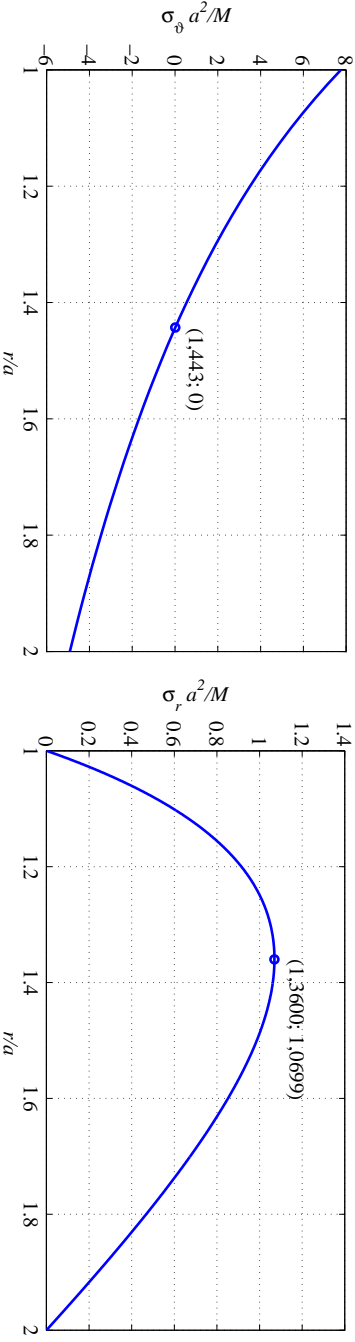
$$N = (b^2 - a^2)^2 - 4a^2b^2 \ln^2 \frac{b}{a} \quad (5.99)$$

sissetoomist saame

$$\begin{cases} \sigma_r = -\frac{4M}{N} \left( \frac{a^2b^2}{r^2} \ln \frac{b}{a} + b^2 \ln \frac{r}{b} + a^2 \ln \frac{a}{r} \right), \\ \sigma_\vartheta = -\frac{4M}{N} \left( -\frac{a^2b^2}{r^2} \ln \frac{b}{a} + b^2 \ln \frac{r}{b} + a^2 \ln \frac{a}{r} + b^2 - a^2 \right), \\ \tau_{r\vartheta} = 0. \end{cases} \quad (5.100)$$

Lahend on täpne vaid siis kui pingegaotus otspindadel vastab avaldisele (5.100)<sub>2</sub>. Muil juhtudel tuleb rakendada Saint-Venanti printsipi.

Joonisel 5.28 on esitatud suurused  $\sigma_\vartheta a^2/M$  ja  $\sigma_r a^2/M$  sõltuvana suhest  $r/a$  juhul kui  $b/a = 2$ .



Joonis 5.28: Pingete jaotus kõvera tala paindel.

Järeldused: 1)  $\sigma_r > 0$  iga  $r$  puhul vaadeldavas piirkonnas; 2) neutraalne telg vastab  $r/a = 1,443$  ja  $\max \sigma_\vartheta > |\min \sigma_\vartheta|$ ; 3)  $\sigma_r$  maksimum ei asu neutraalsel teljel.

### 5.12 Pöörlev ketas

5 - 72

Teiseks näiteks polaarkoordinaatide puhul on pöörleva ketta ülesanne. Vaatleme pöörlevat ketast, mis pöörleb jäava nurkkiirusega  $\omega$ . Ketta paksuse loeme raadiusega võrreldes väikeseks. Ainsaks mahujõuks (mida arvesse võtame) on inertsjoud, st.  $f_r = \rho \omega^2 r$  ja  $f_\vartheta = 0$ . Antud juhul on tegu nn. polaarsümmeetrilise ülesandega, kus  $\sigma_r$  ja  $\sigma_\vartheta$  sõltuvad vaid koordinaadist  $r$  ja seega valemi (5.92) põhjal  $\tau_{r\vartheta} = 0$ . Teine tasakaaluvõrrandeist (5.91) on antud juhul automaatelt rahuldatud ja esimesele saab anda kuju

$$\frac{d}{dr}(r\sigma_r) - \sigma_\vartheta + \rho\omega^2 r^2 = 0. \quad (5.101)$$

Kuna ka  $\varepsilon_r$  ja  $\varepsilon_\vartheta$  on vaid  $r$  funktsioonid, siis (5.96) põhjal

$$\varepsilon_r = \frac{\partial u}{\partial r}, \quad \varepsilon_\vartheta = \frac{u}{r}. \quad (5.102)$$

Hooke'i seadusest (5.97)

$$\sigma_r = \frac{E}{1 - \nu^2}(\varepsilon_r - \nu\varepsilon_\vartheta), \quad \sigma_\vartheta = \frac{E}{1 - \nu^2}(\varepsilon_\vartheta - \nu\varepsilon_r). \quad (5.103)$$

Asendades nüüd deformatsioonikomponendid (5.102) Hooke'i seadusse (5.103) ning viimase omakorda tasakaaluvõrrandisse (5.101) saame diferentsiaalvõrrandi siirdekomponendi  $u$  määramiseks:

$$r^2 \frac{d^2 u}{dr^2} + r \frac{du}{dr} - u = -\frac{1-\nu^2}{E} \rho \omega^2 r^3. \quad (5.104)$$

Selle diferentsiaalvõrrandi üldlahend avaldub kujul

$$u = \frac{1}{E} \left[ (1-\nu) C r - (1+\nu) C_1 \frac{1}{r} - \frac{1-\nu^2}{8} \rho \omega^2 r^3 \right]. \quad (5.105)$$

Vastavad pingekomponendid

$$\begin{cases} \sigma_r = C + C_1 \frac{1}{r^2} - \frac{3+\nu}{8} \rho \omega^2 r^2, \\ \sigma_\vartheta = C - C_1 \frac{1}{r^2} - \frac{1+3\nu}{8} \rho \omega^2 r^2. \end{cases} \quad (5.106)$$

Konstandid  $C$  ja  $C_1$  määratatakse rajatingimustest.

Täisketta (ilma auguta keskel) puhul vastab  $r = 0$  siire  $u = 0$ , seega  $C_1 = 0$ .

Ketta serval  $r = b$  jõudude puudumisel  $\sigma_r = 0$ , seega

$$C = \frac{3+\nu}{8} \rho \omega^2 b^2. \quad (5.107)$$

### 5.12. Pöörlev ketas

Seega pingekomponendid

$$\begin{cases} \sigma_r = \frac{3+\nu}{8} \rho \omega^2 (b^2 - r^2) \\ \sigma_\vartheta = \frac{3+\nu}{8} \rho \omega^2 b^2 - \frac{1+3\nu}{8} \rho \omega^2 r^2 \end{cases} \quad (5.108)$$

Plaadi keskel on neil pingetel maksimaalne väärthus

$$\sigma_r = \sigma_\vartheta = \frac{3+\nu}{8} \rho \omega^2 b^2. \quad (5.109)$$

Kui ketta keskel on ava radiusega  $a$ , siis konstandid  $C$  ja  $C_1$  määratatakse raja-tingimustest  $\sigma_r|_{r=a} = \sigma_r|_{r=b} = 0$  —

$$C = \frac{3+\nu}{8} \rho \omega^2 (a^2 + b^2), \quad C_1 = -\frac{3+\nu}{8} \rho \omega^2 a^2 b^2. \quad (5.110)$$

Pingekomponendid

$$\begin{cases} \sigma_r = \frac{3+\nu}{8} \rho \omega^2 \left( b^2 + a^2 - \frac{a^2 b^2}{r^2} - r^2 \right), \\ \sigma_\vartheta = \frac{3+\nu}{8} \rho \omega^2 \left( b^2 + a^2 + \frac{a^2 b^2}{r^2} - \frac{1+3\nu}{3+\nu} r^2 \right). \end{cases} \quad (5.111)$$

Radiaalpinge  $\sigma_r$  on nüüd maksimaalne kohal  $r = \sqrt{ab}$  ja tangentsiaalpinge (rõngaspinge, i.k. *hoop stress*)  $\sigma_\vartheta$  sisemisel serval

$$\begin{cases} \max \sigma_r = \frac{3+\nu}{8} \rho \omega^2 (b-a)^2, \\ \max \sigma_\vartheta = \frac{3+\nu}{4} \rho \omega^2 \left( b^2 + \frac{1-\nu}{3+\nu} a^2 \right). \end{cases} \quad (5.112)$$

Kui  $a \rightarrow 0$ , siis  $\max \sigma_\vartheta$  läheneb väärusele, mis on kaks korda suurem kui avaldisega (5.109) esitatud väärus. Seega kui teha täisketta tsentrisse väike ava, siis suureneb tangentsiaalpinge plaadi tsentris kaks korda.

### [5.13. Radiaalne pingus.](#)

5 - 76

Küllaltki tihti esineb ülesandeid, kus igas keha punktis on nullist erinev vaid radiaalne pinge  $\sigma_r$ . Sellist pingust nimetatakse *radiaalseks pinguseks*.

Antud juhul saab esitada pinge  $\sigma_r(r, \vartheta)$  kahe funktsiooni korruisena:

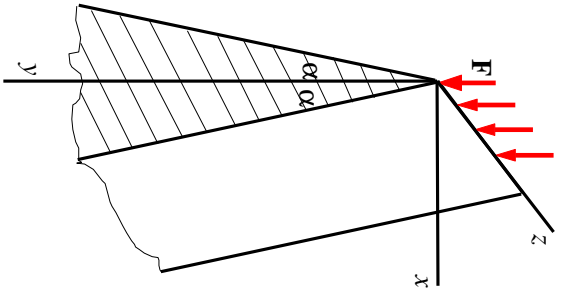
$$\sigma_r(r, \vartheta) = \varphi(r)\psi(\vartheta). \quad (5.113)$$

Pannes viimase tasakaalu- ja pidavusvõrrandeisse ning integreerides, saame radialse pinguse jaoks pingekomponentide avaldised

$$\sigma_r(r, \vartheta) = -\frac{k}{r} \cos(\vartheta - \vartheta_0), \quad \sigma_\vartheta = \tau_{r\vartheta} = 0, \quad (5.114)$$

kus integreerimiskonstandid  $k$  ja  $\vartheta_0$  määratatakse rajatingimustest.

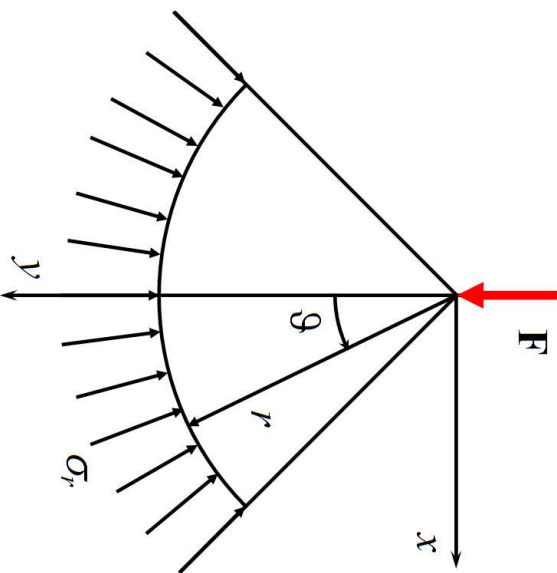
## 5.14 Kiilu surve.



Joonis 5.29: Süümmeetiline kil ja tema sümmeetriatasandis mõjuv jõud.

### 5.14. Kiilu surve.

5 - 78



Joonis 5.30: Süümmeetilisele kiilule mõjuv jõud, radiaalne pinge, polaar ja ristkoordinaatid.

Võtame kasutusele polaarkoordinaatid  $r$  ja  $\vartheta$  (joonis 5.30). Sellisel juhul on tegu radiaalse pingusega ja pingekomponendid on esitatavad kujul (5.114). Konstantide  $k$  ja  $\vartheta_0$  määrmiseks tuleb kõik joonisel 5.30 kujutatud jõud (ja pinged) projekteerida koordinaatide  $r$  ja  $\vartheta$  (või  $x$  ja  $y$  sihile). Kuna välisjõud on valedaval juhul vertikaalne (ja mõjub sümmeetriatasandis), siis on konstant  $\vartheta_0 = 0$ . Konstandi  $k$  määramiseks projekteeritakse  $\mathbf{F}$  ja  $\sigma_r$   $y$ -teljele:

$$F - \int_{-\alpha}^{\alpha} \sigma_r(\cos \vartheta) r d\vartheta = 0, \quad (5.115)$$

Vaatleme lõpmata pikka süümmeetrilist kiili (joonis 5.29), mille sümmeetriatasandis mõjub joonkoormus  $\mathbf{F}$ . Kiili tipunurga tähistame  $2\alpha$ . Analoogiliselt tugiseina arvutusega, hülgame rajatingimused kiili alaservas ja vaatlame  $0 \leq y \leq \infty$ .

kust arvestades (5.114) saame

$$F - \int_{-\alpha}^{\alpha} \frac{k}{r} \cos^2 \vartheta r d\vartheta = 0, \quad \Rightarrow \quad k = \frac{2F}{2\alpha + \sin 2\alpha}. \quad (5.116)$$

Kokku saame seega lahendi kujul:

$$\sigma_r = -\frac{2F}{2\alpha + \sin 2\alpha} \frac{\cos \vartheta}{r}, \quad \sigma_\vartheta = \tau_{r\vartheta} = 0. \quad (5.117)$$

Kuna valemite (5.114) tuletamisel kasutati nii tasakaalu kui pidavuse võrrandeid, siis rahuldab ka vaadeldava ülesande lahend (5.117) nii tasakaalu kui pidavuse võrrandeid.

#### *5.14. Kiilu surve.*

Praktiliste probleemide korral (vt. näiteks järgmisi alajaotust) on siiski otstarbekas kasutada koordinaate  $x$  ja  $y$ . Üleminekuks on järgmised valemid:

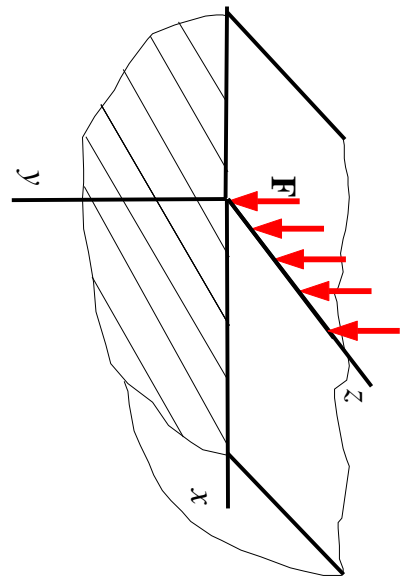
$$\begin{cases} \sigma_x = \sigma_r l^2 + \sigma_\vartheta m^2 + 2\tau_{r\vartheta} lm, \\ \sigma_y = \sigma_r l_1^2 + \sigma_\vartheta m_1^2 + 2\tau_{r\vartheta} l_1 m_1, \\ \tau_{xy} = \sigma_r ll_1 + \sigma_\vartheta mm_1 + \tau_{r\vartheta}(lm_1 + l_1 m), \end{cases} \quad (5.118)$$

$$\begin{cases} l = \cos(r, x) = \sin \vartheta, \\ m = \cos(\vartheta, x) = \cos \vartheta, \\ l_1 = \cos(r, y) = \cos \vartheta, \\ m_1 = \cos(\vartheta, y) = -\sin \vartheta \end{cases} \quad \begin{cases} r = \sqrt{x^2 + y^2}, \\ \sin \vartheta = \frac{x}{\sqrt{x^2 + y^2}}, \\ \cos \vartheta = \frac{y}{\sqrt{x^2 + y^2}}. \end{cases} \quad (5.119)$$

Kokku saame kolm koordinaatidele  $x$  ja  $y$  vastavat pingekomponentti

$$\sigma_x = -\frac{kx^2 y}{(x^2 + y^2)^2}, \quad \sigma_y = -\frac{ky^3}{(x^2 + y^2)^2}, \quad \tau_{xy} = -\frac{kxy^2}{(x^2 + y^2)^2}. \quad (5.120)$$

## 5.15 Koondatud jõu mõju poolruumile



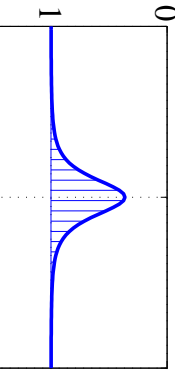
Joonis 5.31: Elastsele poolruumile mõjuv koondatud jõud.

ning ristkoordinaatides

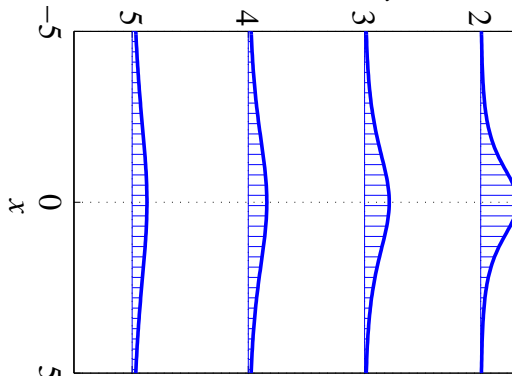
$$\sigma_x = -\frac{2Fx^2y}{\pi(x^2+y^2)^2}, \quad \sigma_y = -\frac{2Fy^3}{\pi(x^2+y^2)^2}, \quad \tau_{xy} = -\frac{2Fxy^2}{\pi(x^2+y^2)^2}. \quad (5.122)$$

### 5.15. Koondatud jõu mõju poolruumile

$F = 1$  kohal  $x = 0$

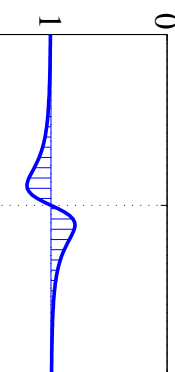


$y$  ja  $\sigma_y$  epüürid

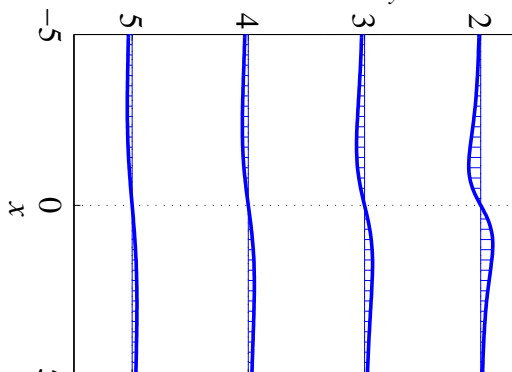


$y$  ja  $\tau_{xy}$  epüürid

$F = 1$  kohal  $x = 0$



$y$  ja  $\sigma_y$  epüürid



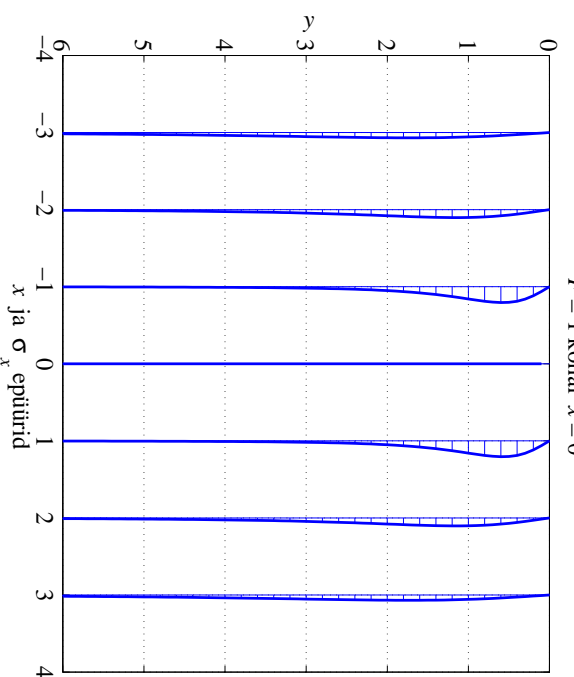
$y$  ja  $\tau_{xy}$  epüürid

5 - 82

Vaatleme elastset keskkonda, mis on piiratud koordinaattasandiga  $(x, z)$  ja milles mõjub piki  $z$  telge rakendatud jõud  $\mathbf{F}$ . Selline ülesanne on tuntud *Flamant'i ülesandena* ja ta kujutab endast eelmises alajaotuses vaadeldud kiili ülesande erijuhtu, kus nurk  $\alpha = \pi/2$ . Järelikult kõstant  $k = 2F/\pi$  ja pingekomponendid poolaarkoordinaatides

$$\sigma_r = -\frac{2F \cos \vartheta}{\pi r}, \quad \sigma_\vartheta = \tau_{r\vartheta} = 0 \quad (5.121)$$

Joonis 5.32: Normaalinge  $\sigma_y$  ja nihkepinge  $\tau_{xy}$  epüürid koordinaatidel  $y = 1, 2, \dots, 5$ . Joonisel 5.32 on esitatud normaalpinge  $\sigma_y$  ja nihkepinge  $\tau_{xy}$  epüürid koordinaadi  $y$  flikseeritud väärustel



Joonis 5.33: Normaalpinge  $\sigma_x$  epüürid koordinaadi  $x$  fikseeritud väärustele jaoks kohal  $x = 0$  mõjuva ühikulise jõu  $\mathbf{F}$  korral.

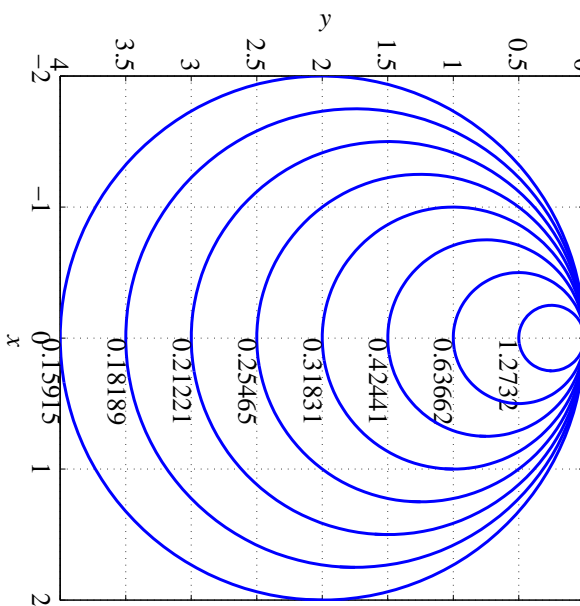
Joonisel 5.33 on esitatud normaalpinge  $\sigma_x$  epüürid koordinaadi  $x$  fikseeritud väärustele  $x_0 = -3, -2, -1, 1, 2, 3$  jaoks.

Fikseeritud  $y$  korral omab normaalpinge  $\sigma_y$  ekstreemaalset väärust kohal  $x = 0$ , ja nihkepinge  $\tau_{xy}$  kohal  $|x| = y_0/\sqrt{3}$ . Analoogiliselt, fikseeritud  $x$  korral omab  $\sqrt{\sigma_x}$  normaalpinge  $\sigma_x$  ekstreemaalset väärust kohal  $y = x_0/\sqrt{3}$ .

### 5.15. Koondatud jõu mõju poolruumile

5 - 84

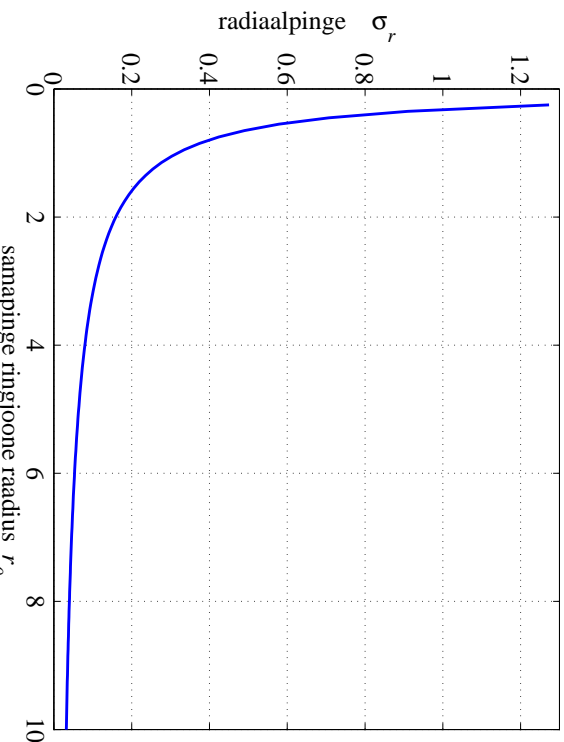
Samapinge jooned radiaalpingele  $\sigma_r$ ;  $F = 1$



Joonis 5.34: Radiaalpinge  $\sigma_r$  samapinge jooned kohal  $x = 0$  mõjuva ühikjõu  $\mathbf{F}$  korral.

Joonisel 5.34 on esitatud radiaalpinge  $\sigma_r$  samapinge jooned — ringjoonel raadiusega  $r_0$  on radiaalpinge  $\sigma_r = -F/\pi r_0$ . Kõik sellised ringjooned puutuvad  $x$ -telge jõu  $\mathbf{F}$  rakenduspunktis.

Sellise graafilise radiaalpinge esituse andis esmakordelt Joseph Boussinesq ning seetõttu nimetatakse neid ringe *Boussinesqi ringideks*.



Joonis 5.35: Radiaalpinge  $\sigma_r$  sõltuvana samapinge joone raadiusest  $r_0$ .

Joonisel 5.35 on näidatud kuidas sõltub radiaalpinge  $\sigma_r$  samapinge joone raadiusest  $r_0$ .

### 5.15. Koondatud jõu mõju poolruumile

5 - 86

Valemeid (5.121) ja (5.122) võib kasutada selleks, et hinnata vundamendialuseid pingeid pinnases. Kuigi pimas üldiselt ei käitu elastsest, on siiski leitud, et väikeseateispingete korral on kõigil pinnastel rakendatav lineaarne elastsus-teooria.

Eelpool vaadeldud lahend on lihtsalt üldistatav suvalise joonkoormuse  $p(x)$  jaoks, mis mõjub lõigul  $[a, b]$ . Esmalt vaatleme juhtu, kus koondatud jõud  $\mathbf{F}$  ei mõju mitte koordinaatide alguses, vaid punktis  $x = x_0$ . Sel juhul saavad valemid (5.122) kuju

$$\sigma_x = -\frac{2F\xi^2y}{\pi(\xi^2 + y^2)^2}, \quad \sigma_y = -\frac{2Fy^3}{\pi(\xi^2 + y^2)^2}, \quad \tau_{xy} = -\frac{2F\xi y^2}{\pi(\xi^2 + y^2)^2} \quad (5.123)$$

kus  $\xi = x - x_0$ .

Selleks, et arvutada lõigul  $a \leq x \leq b$  mõjuvast joonkoormusest  $p(x)$  põhjustatud pingeid, tuleb saadud valemites teha asendus  $F = p(\xi)d\xi$  ja integreerida lõigul  $[a, b]$ .

Juhul kui  $p = \text{const.}$ , saame

$$\begin{aligned} \sigma_x &= -\frac{2p}{\pi} \int_{x=a}^{x=b} \frac{\xi^2 y}{(\xi^2 + y^2)^2} d\xi = -\frac{p}{\pi} \left( \arctan \frac{\xi}{y} - \frac{y\xi}{\xi^2 + y^2} \right) \Big|_{x=a}^{x=b} = \\ &= -\frac{p}{\pi} \left[ \arctan \frac{(x-b)}{y} - \arctan \frac{(x-a)}{y} - \frac{y(x-b)}{(x-b)^2 + y^2} + \frac{y(x-a)}{(x-a)^2 + y^2} \right], \end{aligned} \quad (5.124)$$

$$\begin{aligned} \sigma_y &= -\frac{2p}{\pi} \int_{x=a}^{x=b} \frac{y^3}{(\xi^2 + y^2)^2} d\xi = -\frac{p}{\pi} \left( \arctan \frac{\xi}{y} + \frac{y\xi}{\xi^2 + y^2} \right) \Big|_{x=a}^{x=b} = \\ &= -\frac{p}{\pi} \left[ \arctan \frac{(x-b)}{y} - \arctan \frac{(x-a)}{y} + \frac{y(x-b)}{(x-b)^2 + y^2} - \frac{y(x-a)}{(x-a)^2 + y^2} \right], \end{aligned} \quad (5.125)$$

### 5.15. Koondatud jõu mõju poolruumile

5 - 88

$$\begin{aligned} \tau_{xy} &= -\frac{2p}{\pi} \int_{x=a}^{x=b} \frac{\xi y^2}{(\xi^2 + y^2)^2} d\xi = \frac{p}{\pi} \frac{y^2}{\xi^2 + y^2} \Big|_{x=a}^{x=b} = \\ &= \frac{p}{\pi} \left[ \frac{y^2}{(x-b)^2 + y^2} - \frac{y^2}{(x-a)^2 + y^2} \right]. \end{aligned} \quad (5.126)$$

Saadud valemite (5.124)–(5.126) abil on võimalik hinnata pingeid vundamendiuses pinnases.

Jaan Metsaveere koostatud õppeveahendis<sup>4</sup> on välja pakutud alternatiivne valem

$$\sigma_y^* = \frac{p}{\pi \sqrt{a^2 - x^2}}, \quad (5.127)$$

kus  $p$  on alusmüüri pikkustühikule mõjuv kormus,  $2a$  vundamendi pikkus ja  $-a \leq x \leq a$ . See valem baseerub ideel määratatud vundamendi ja pinnase vaheline röhk, mis põhjustab ütlase vertikaalsirde kogu vundamendi ulatuses. Viimase valemi põhjal peaks vundamendi servades  $x = \pm a$  tekkima lõpmata suured pinged. Tegelikkuses selline olukord ei realiseeru — juba suhteliselt väikeste pingete juures tekkiavad  $x = \pm a$  ümbruses plastsed deformatsioonid ning tegelik pingegaotus on tunduvalt ühtlasem.

*Ülesanne.* Poolruumile mõjub lõigul  $-5 \leq x \leq 5$  kantsantne joonkoormus  $p =$

- Leida normaalpinged  $\sigma_x$ ,  $\sigma_y$  ja  $\tau_{xy}$  koordinaatide  $x$  ja  $y$  fikseeritud väärustele jaoks kasutades eelmises alajaotuses toodud valemeid.

*Lahendus.*

- Normaalpinge  $\sigma_y$  arvutamiseks saab kasutada valemeid (5.125), (5.123)<sub>2</sub> või (5.127).

- Valem (5.125) võimaldab leida pinge  $\sigma_y$  väärusti iga  $y$  ja  $x$  jaoks.
- Valemi (5.123)<sub>2</sub> rakendamiseks tuleb lõik  $-5 \leq x \leq 5$  jagada  $n$  võrdseks osalõiguks pikkusega  $\Delta x = 2a/n$  ja joonkoormus  $n+1$  koondatud jõuks. Osalõikude otstes  $x_i = -a + i\Delta x$ , ( $i = 0, \dots, n$ ) mõjuvad sel juhul koondatud jõud  $F_i = 2ap/(n+1)$ . Iga jõud  $F_i$  põhjustab pinge  $\sigma_y(F_i)$ . Seega, rakendades superpositsiooni printsiipi, avaldub  $n+1$  jõust põhjustatud pinge summana  $\sigma_y = \sum_{i=0}^n \sigma_y(F_i)$ .
- Valem (5.127) on mõeldud pingete arvutamiseks vahetult vundamendi all ning seetõttu pole seal koordinaati  $y$ .

#### 5.16. Näide: joonkoormuse mõju poolruumile

5 - 90

- Tulemused on esitatud joonistel 5.36–5.38. Joonisel 5.36 on osalõikude arv  $n = 100$ , joonisel 5.37  $n = 20$  ja joonisel 5.38  $n = 10$ . Punane punktiirjoon vastab valemile (5.125), violetne kriipsjoon valemile (5.127) ja sinine pidev joon valemile (5.123)<sub>2</sub>.
- Nihkepinge  $\tau_{xy}$  arvutamiseks saab kasutada valemeid (5.126) või (5.123)<sub>3</sub>.
  - Valemi (5.126) abil leida pinge  $\tau_{xy}$  väärusti iga  $y$  ja  $x$  jaoks.
  - Analoogiliselt normaalpingega  $\sigma_y$ , tuleb valemi (5.123)<sub>3</sub> rakendamiseks lõik  $-5 \leq x \leq 5$  jagada  $n$  vordseks osalõiguks ja joonkoormus  $n+1$  koondatud jõuks. Kokku saame nüüd  $\tau_{xy} = \sum_{i=0}^n \tau_{xy}(F_i)$ .
  - Tulemused on esitatud joonistel 5.36–5.38. Joonisel 5.36 on osalõikude arv  $n = 100$ , joonisel 5.37  $n = 20$  ja joonisel 5.38  $n = 10$ . Punane punktiirjoon vastab valemile (5.126) ja sinine pidev joon valemile (5.123)<sub>3</sub>.

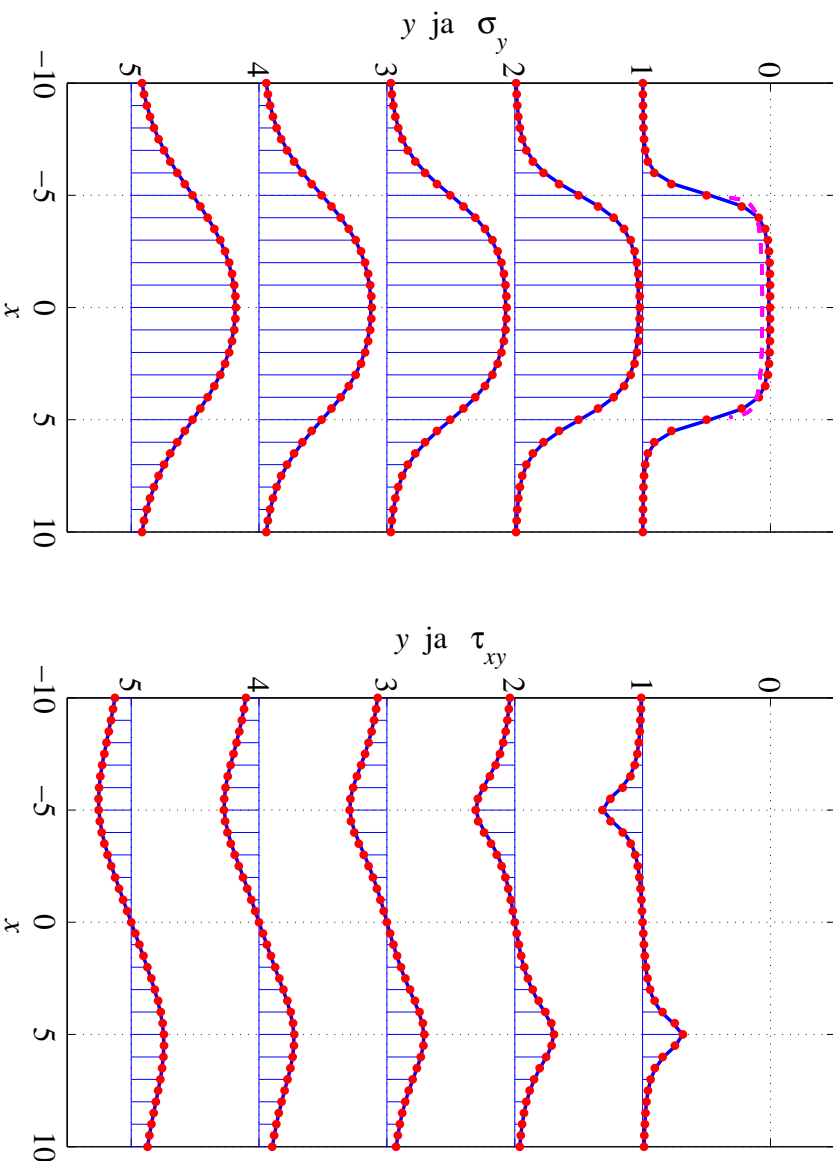
3. Normaalpinge  $\sigma_x$  arvutamiseks saab kasutada valemeid (5.124) või (5.123)<sub>1</sub>.

- Valemite (5.124) ja (5.123)<sub>1</sub> kasutamise põhimõtted on samad, mis eelnevatel juhtudel.
- Tulemused on esitatud joonistel 5.39–5.41. Joonisel 5.39 on osalõikude arv  $n = 100$ , joonisel 5.40  $n = 20$  ja joonisel 5.41  $n = 10$ . Punane punktiirjoon vastab valemile (5.124) ja sinine pidev joon valemile (5.123)<sub>1</sub>.

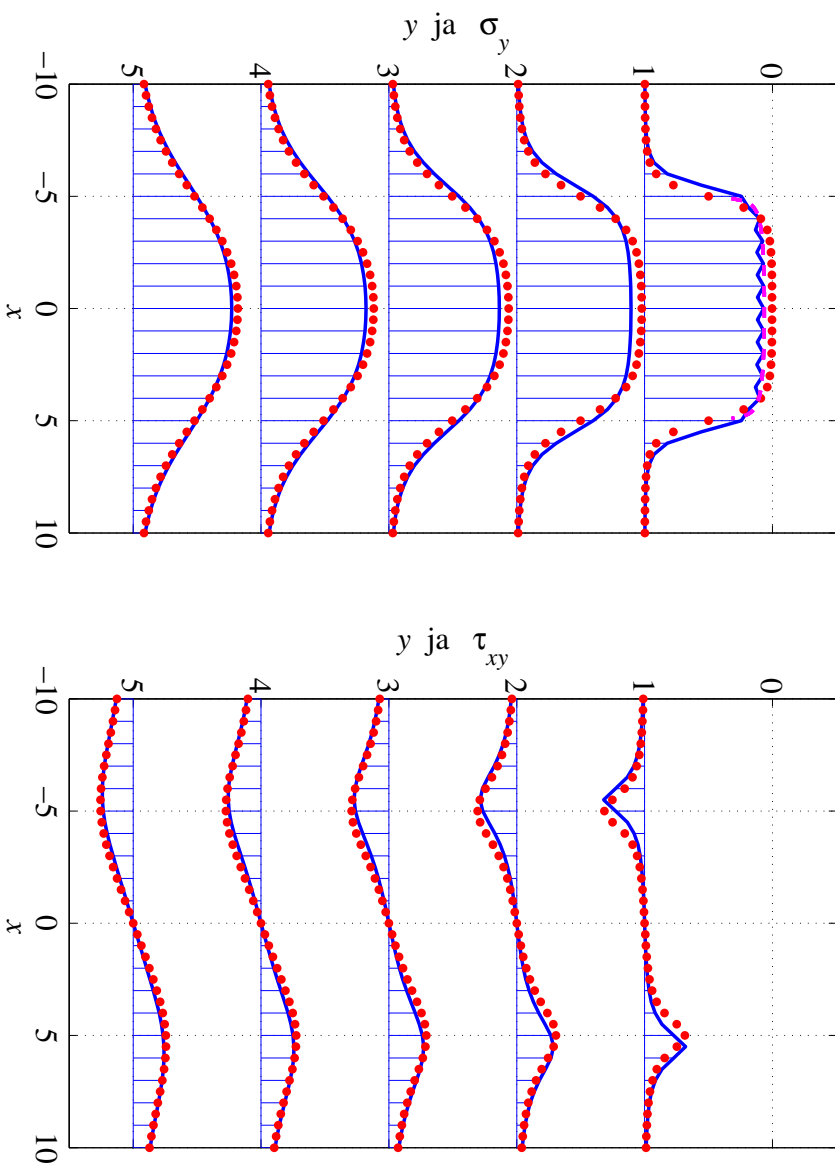
4. Joonistel 5.42–5.44 on lisaks esitatud samapingejooned pingetele  $\sigma_x$ ,  $\sigma_y$  ja  $\tau_{xy}$  piirkonnas  $-10 \leq x \leq 10$ ,  $0 < y \leq 5$ .

5.16. Näide: joonkoormuse mõju pooltrumile

5 - 92



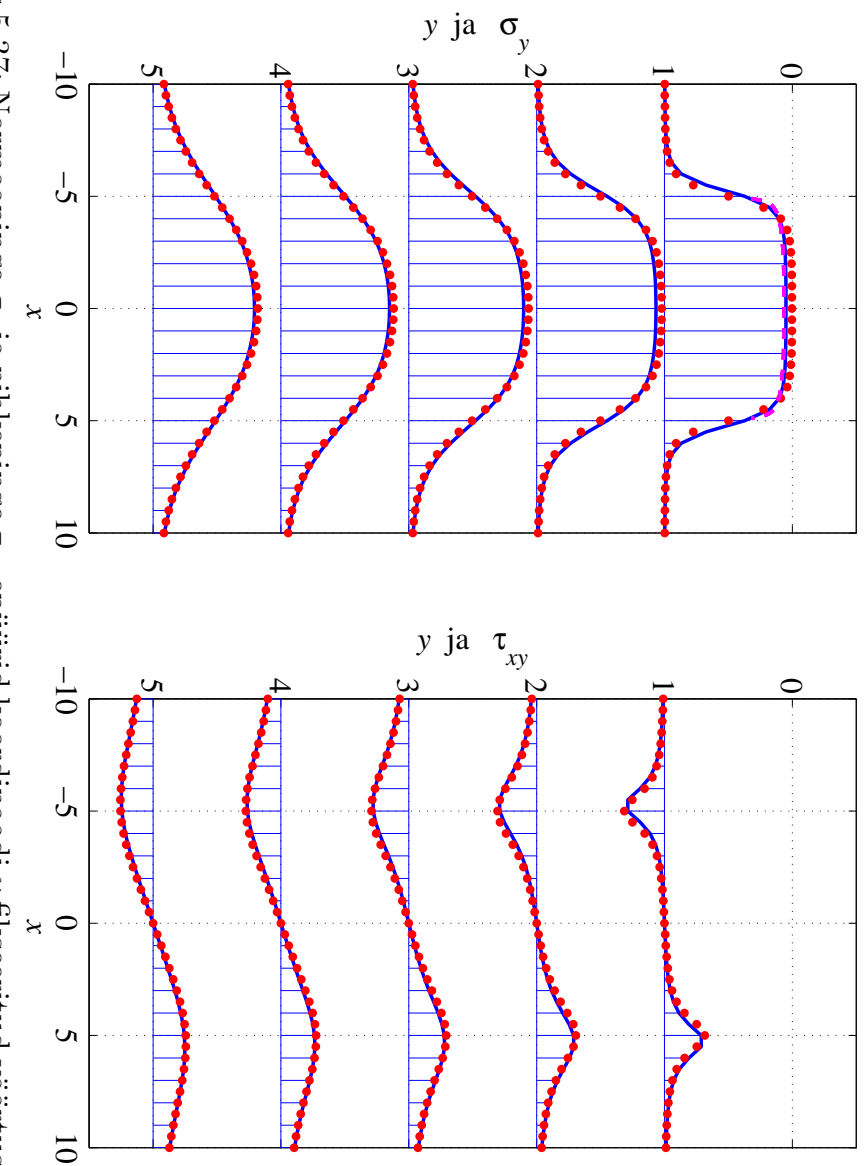
Joonis 5.36: Normaalpinge  $\sigma_y$  ja nihkepinge  $\tau_{xy}$  epüürid koordinaadi  $y$  fiksseeritud väärustuste jaoks lõigul  $-5 \leq x \leq 5$  mõjuva ühikulise joonkoormuse korral, osalõikude arv  $n = 100$ .



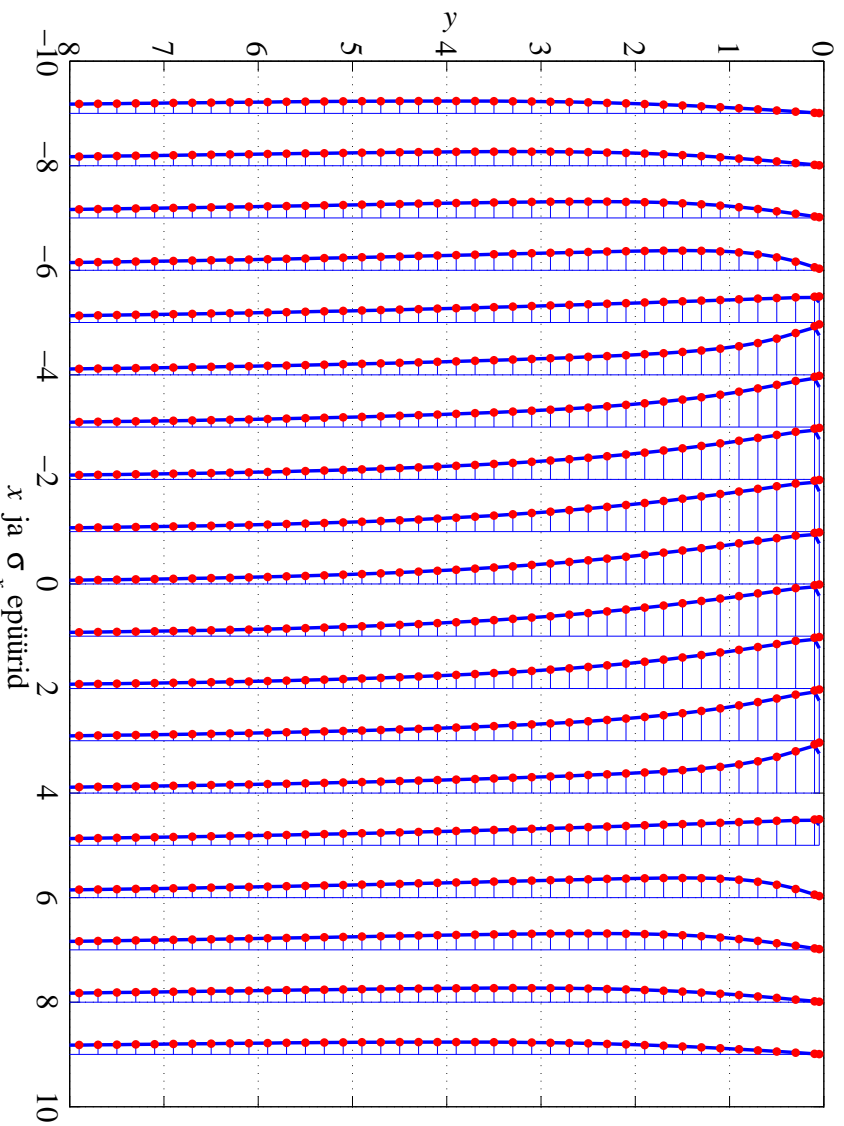
Joonis 5.38: Normaalpinge  $\sigma_y$  ja nihkepinge  $\tau_{xy}$  epüürid koordinaadi  $y$  fikseeritud väärustuste jaoks lõigul  $-5 \leq x \leq 5$  mõjuva ühikulise joonkoormuse korral, osalõikude arv  $n = 10$ .

### 5.16. Näide: joonkoormuse mõju pooltruuvalile

5 - 94



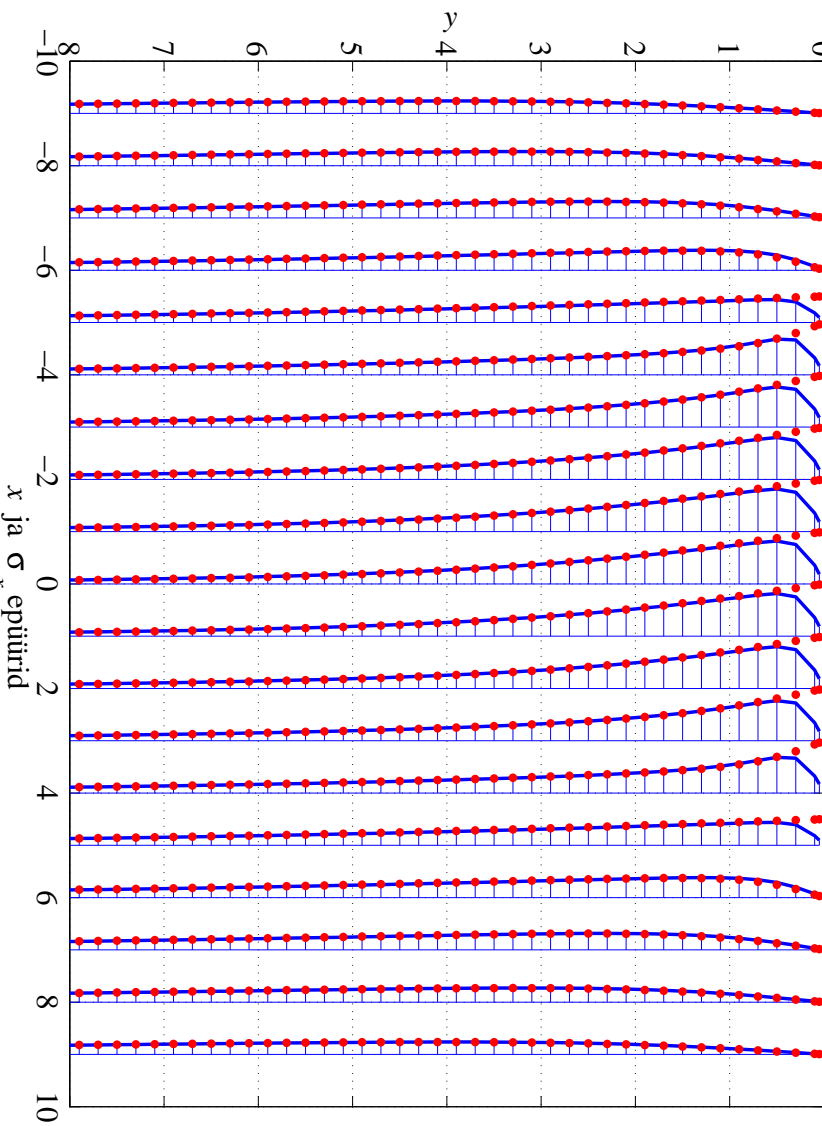
Joonis 5.37: Normaalpinge  $\sigma_y$  ja nihkepinge  $\tau_{xy}$  epüürid koordinaadi  $y$  fikseeritud väärustuste jaoks lõigul  $-5 \leq x \leq 5$  mõjuva ühikulise joonkoormuse korral, osalõikude arv  $n = 20$ .



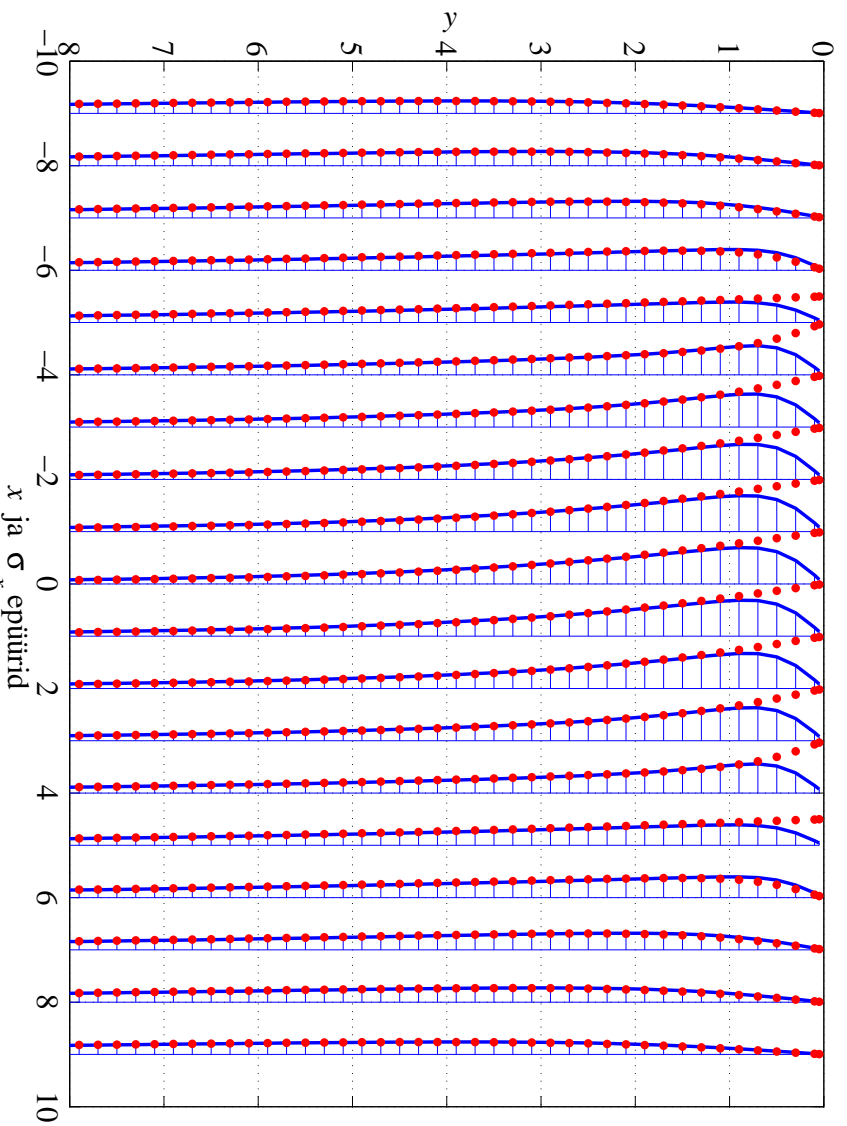
Joonis 5.39: Normaapinge  $\sigma_x$  epüürid koordinaadi  $x$  fikseeritud väärustega jacks lõigul  $-5 \leq x \leq 5$  mõjuva tihikulise joonkoormuse korral, osalõikude arv  $n = 100$ .

### 5.16. Näide: joonkoormuse mõju pooltrumile

5 - 96



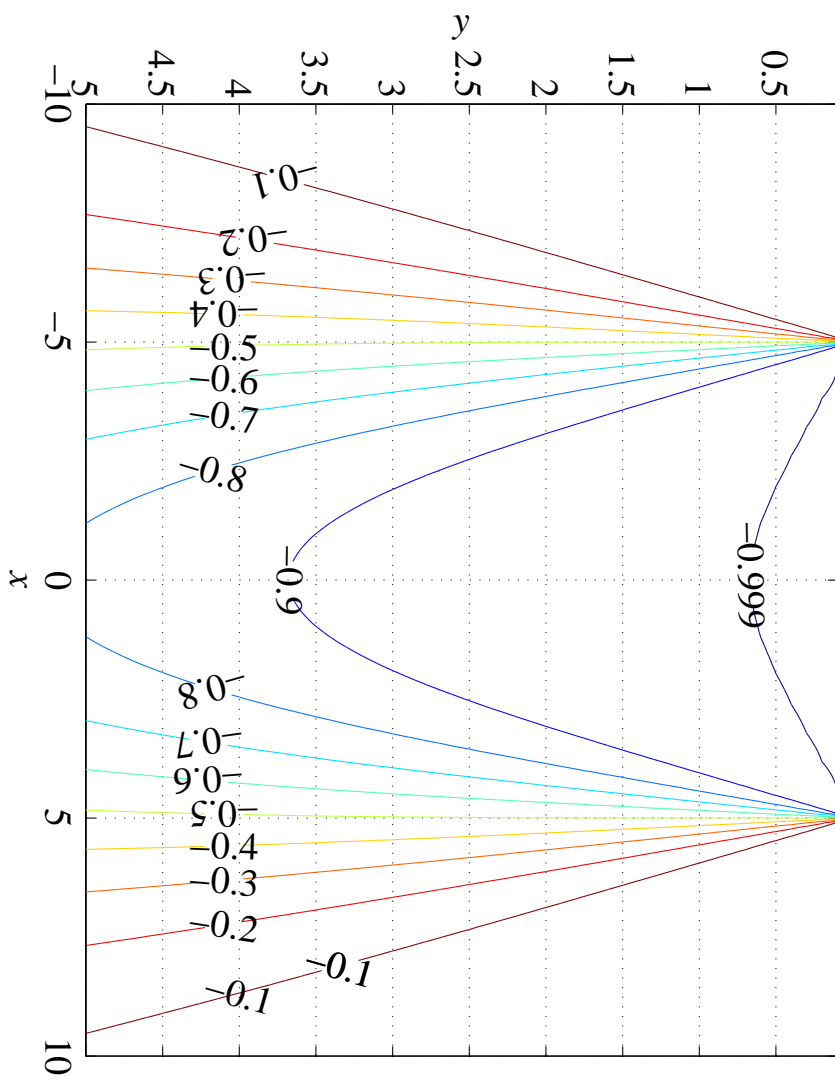
Joonis 5.40: Normaapinge  $\sigma_x$  epüürid koordinaadi  $x$  fikseeritud väärustega jacks lõigul  $-5 \leq x \leq 5$  mõjuva tihikulise joonkoormuse korral, osalõikude arv  $n = 20$ .



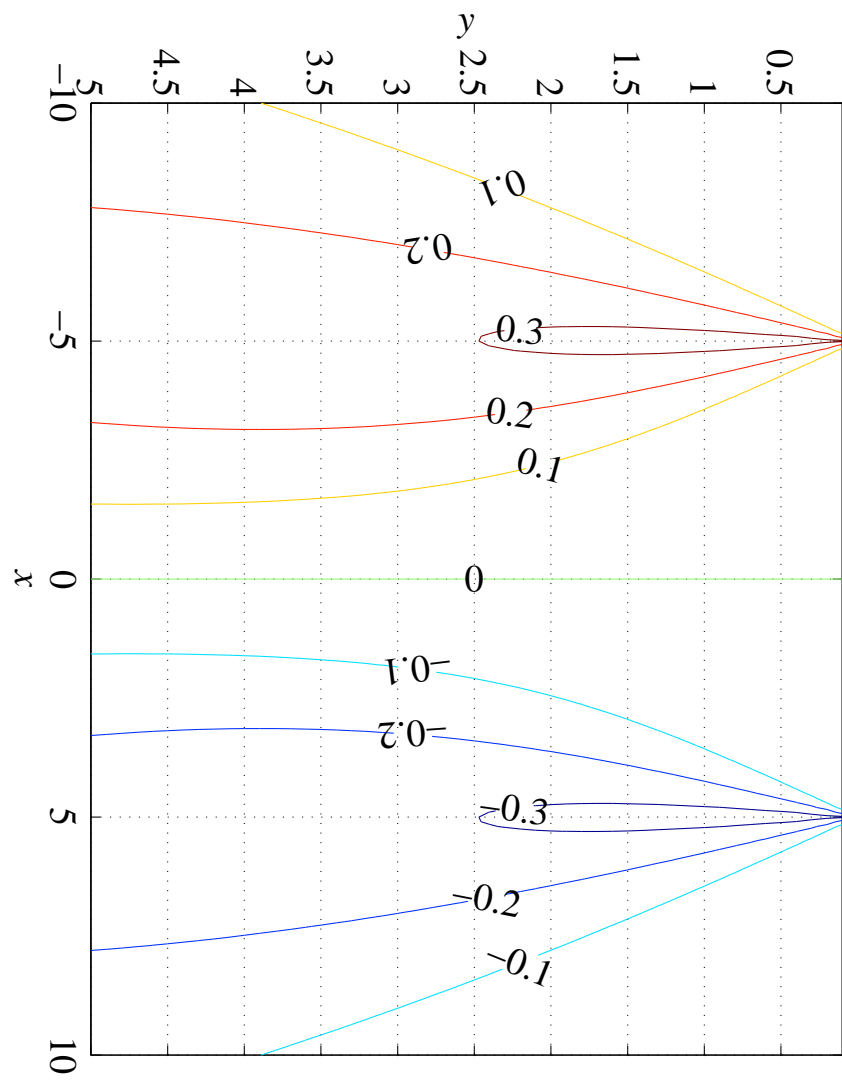
Joonis 5.41: Normaapinge  $\sigma_x$  epüürid koordinaadi  $x$  fikseeritud väärustega jacks lõigul  $-5 \leq x \leq 5$  mõjuva tihikulise joonkoormuse korral, osalõikude arv  $n = 10$ .

### 5.16. Näide: joonkoormuse mõju pooltrumile

5 - 98



Joonis 5.42: Samapingejoonede normaapinge  $\sigma_y$  jaoks.



5.16. Näide: joonkoormuse mõju pooltrumile

5 - 100

